

	strana
XIX Poměrný počet průsečíků pro vzorky 1 - 10 (PN = PA)	169
XX Průměrný počet průsečíků pro vzorky 1 - 10 (materiál MYP)	170
XXI Kolisání četnosti zatříďených průsečíků vzhledem k průměrné hodnotě (PN = PA)	171
XXII Hlavní statistické charakteristiky četnosti průsečíků (PN = PA _e , MYP = PA)	172
XXIII Hmotnosti třásní (MYR = GA)	180
XXIV Srovnání průměrných hmotností třásní (MYR = GA)	181
XXV Poměrné hmotnosti třásní (MYR = GA) ...	182
XXVI Hlavní statistické charakteristiky hmotnosti třásní	184
XXVII Korelační vztahy mezi hodnotami orientace a poměrným počtem průsečíků	185
XXVIII Ukazatelé vrstvení	191
XXIX Hodnoty odpovídajících úhlů	191
XXX Výpočet orientace a poměrného počtu průsečíků (MYR)	193
XXXI Zatříďení četnosti vyhodnocovaných prvků	196
XXXII Kontrola normálního rozložení	198
XXXIII Statistické charakteristiky vyšetřova- ných souborů	199
XXXIV Ukazatel λ_{GA}	209

lie. Příliš malé měrné tlaky vedou ke zkresleným výsledkům ovlivněným tuhostí vláken, která z textilie vyčnívají. Dále uvádí, že metoda pro měření tloušťky netkaných textilií nebyla dosud sjednocena. O měření tloušťky roua se nezmíňuje.

Již citovaná ČSN /6/ předepisuje pro měření tloušťky vlasových tkanin přítisk 125 p na ploše 25 cm^2 , takže měrný přítisk je 5 p cm^{-2} .

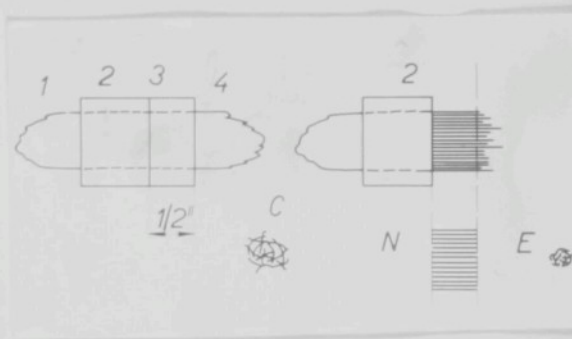
Jörder /10/ udává v další své práci, že při měrné hmotnosti textilie větší než $0,1 \text{ g cm}^{-3}$ se provádí měření tloušťky na ploše 25 cm^2 při měrném tlaku 2 p cm^{-2} . V tomtéž pramenu se udává, že tloušťka textilií o menší měrné hmotnosti než $0,1 \text{ g cm}^{-3}$ se dá měřit novým způsobem, který částečně eliminuje místní nerovnosti povrchu a úcinek jednotlivých vláken, která vyčnívají z textilie. Pouze v tomto pramenu je uváděno, že metoda je vhodná i pro měření tloušťky roua. Vlastní měření se provádí tak, že klimatizované vzorky roua o velikosti $100 \times 100 \text{ mm}$ se volně na sebe navrství až do celkové výšky 50 mm . Takto vytvořená vrstva vzorků se překryje tvrdým papírem o tloušťce $0,1 \text{ mm}$ a provedou se čtyři odečty vzdálenosti podstavné plochy od vnitřní plochy krycího papíru. Z těchto odečtuů, provedených s přesností na $0,1 \text{ mm}$, se vypočte aritmetický průměr, který se podělí počtem vzorků.

3.3 USPOŘÁDÁNÍ VLÁKEN V ROU NJE NEBO V JINÉM VLÁKENNÉM ÚTVARU, KTERÝ JE ALESPOR ČÁSTEČNĚ S ROUNEM SROVNATELNÝ

3.3.1 Poloha vláken vzhledem k předem vytčenému (hlavnímu) směru

Tato metoda byla použita v četných dalších pracích /26, 27, 28, 29/ a jak ukázal Brach /5/, je variační koeficient jednotlivých měření každé serie asi 10 %.

Lindsley /12/ provádí měření tak, že vzorek 1 upíná do kleštin, které se skládají z části 2 a 3. Část 3 tvoří šablony dlouhou $1/2''$. Podél hrany této šablony je vzorek oříznut. Po odstranění šablony je vzorek vyčesan a zjištěna hmotnost výčesků C. Vyčesaná tříseň je upnuta do kleštin 3 a podél jejich hrany je oříznuta. Vážením jsou zjištěny hmotnosti oříznuté třásně N a přes hranu kleštin přečítavající části třásně E.



Obr. 1 Zjišťování hodnoty I a CR podle Lindsleye

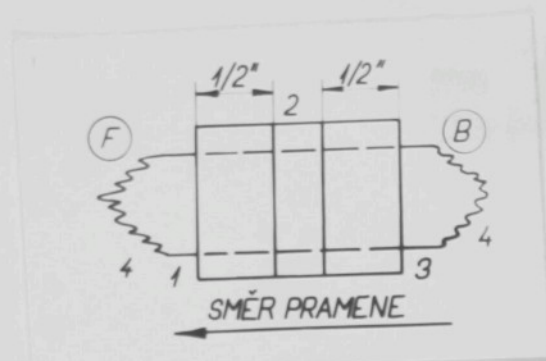
Výpočtem jsou pak určovány hodnoty

$$I = \left(1 - \frac{E}{N} \right) 100$$

resp. poměr vyčesání

$$CR = \frac{C}{E + N}$$

Brachem /5/ byla pro srovnávací měření použita zdokonalená metoda, kde pramen je upnut do tří čelistí 1, 2, 3 a jeho konec jsou oříznuty. Po odstranění šablon 1 a 3 jsou přečítavající konec třásně vyčesány.



Obr. 2 Zjišťování hodnoty CRF a CRB dle Bracha

Ze zjištěných hmotností třásně N a N' a výčesků C a C' se vypočítá ukazatel

$CRF = 100 C/N$ pro část třásně ve směru F

$CRB = 100 C'/N'$ pro část třásně ve směru B.

Tentýž autor udává, že odchylka měření je 7,2 % od průměrné hodnoty.

Leontěva /40/ zkoumá parallelizaci vláken v přástu a modifikací původní Lindsleyovy metody dochází ke vztahům charakterizujícím parallelizaci vláken a délku háčků.

U nás se touto problematikou zabývala Lehká a Kašpárek /41/, kterí navrhli přístroj ORIMET-U.

Využití mechanických vlastností textilního útvaru

Je známou skutečností, že pevnost textilního útvaru je mimo jiné závislá i na jeho struktuře.

Brach /5/ se odvolává na práci Rosse, který se svými spolu-pracovníky používal za nepřímý ukazatel parallelizace vláken měrnou pevnost pramene. Upínací délka vzorku byla menší než délka vláken. Brach svými pokusy dovozuje, že závislost měrné pevnosti R na střední délce vláken je typu

Využití optických vlastností textilního útvaru

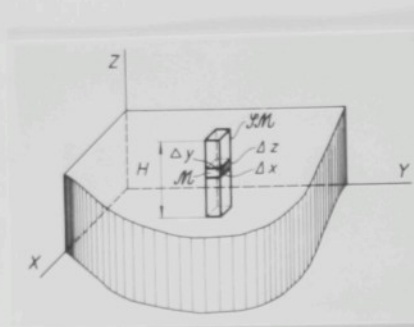
Orchard /14/ použil pro měření orientace vláken v pavučině optické metody, založené na měření světla, rozptýleného průchodem pavučinou. Svazek rovnoběžných paprsků byl průchodem hranolem rozdělen na dva svazky, stejně odchýlené od optické osy. Průchodem těchto svazků pavučinou nastává na jejich vláknech rozptyl světla, který je závislý na poloze vláken. Z údajů fotočlánku, který je umístěn v optické ose přístroje, lze sledovat závislost osvětlení na úhlu natočení pavučiny vůči hranolu. Z maximální a minimální hodnoty je pak usuzováno na stupeň orientace vláken pavučiny.

Uno, Saito, Koide a Yanagawa /15/ určují stupeň orientace ze světelného toku paprsků, odražených do roviny rovnoběžné s osou a do roviny ke směru osy pramene kalmá. Uno, Saito, Shimoi a Koide /31/ v pokračování předchozí práce rozdělují sekundární světelné složky na odražené a difuzní. Rozdělení jednotlivých složek se provádí tak, že na straně světelného zdroje je polarizační filtr a na straně odraženého světla je měřicímu fotočlánku předřazen analyzátor. Odfiltrováním difuzních složek je údajně odstraněn vliv druhu vlákkenné hmoty.

Hearle a Stevenson /1/ referují o bezúspěšných pokusech, které měly za cíl zjištění orientace vláken v rouně z profilu svazku rovnoběžných paprsků, které procházejí zkušebním materiálem. Rovněž bezúspěšné byly i jejich pokusy založené na měření orientace molekul, z nichž jsou složena vlákna, tvořící vyšetřovaný textilní útvar.

Měrný počet průsečíků vláken

Metoda je založena zřejmě na zjištění měrného počtu průse-



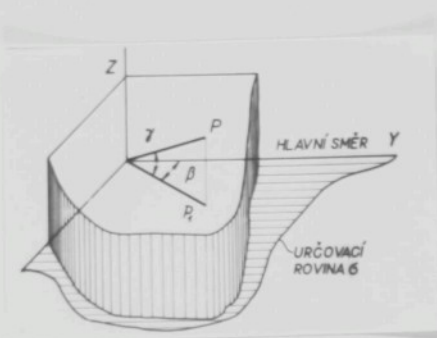
Obr. 3 Vymezení oblasti v rouně

4.11 Náhradní rouno

Pro potřeby této práce je nutno stanovit geometricky jednoduchý tvar rouna, který by mohl zastoupit pro některé případy skutečného rouna. Z tohoto hlediska je třeba zjednodušit rozložení vlněná hmoty v rouně a omezit náhradní rouno pevnými stěnami.

Diskontinuitu místní měrné hmotnosti skutečného rouna lze zjednodušit tím, že hodnoty měrné hmotnosti budou zprůměrovány a pro přesné vyšetření budou vzájemně srovnávána jen ta místa rouna, která vznikala za stejnými technologickými podmínkami.

Náhradní rouno je tedy těleso omezené dvěma hlavními plochami řezů, vedenými rovnoběžně se směrem místní tloušťky. Hlavní určovací plocha náhradního rouna je shodná s podstavnou plochou skutečného rouna a její vzdálenost od druhé omezující hlavní plochy je dána příslušnou místní tloušťkou. Měrná hmotnost v jednotlivých místech náhradního rouna je dána průměrem měrných hmotností vzájemně si odpovídajících míst ve skutečném rouně.



Obr. 4 Systém pravoúhlých souřadnic

Směr osy X je rovnoběžný se směrem pracovní šířky stroje, na kterém bylo rouno vyroběno. Pro případ, kdy pracovní šířku stroje nelze jednoznačně určit (diskontinuální výroba rouna), nutno tento směr individuálně stanovit.

Směr a smysl osy Y je souhlasný se směrem (a smyslem) odvádění rouna z výrobního stroje. Tento směr bude nazýván hlavním směrem. V případě diskontinuální výroby je nutno stanovit hlavní směr individuálně.

Směr a smysl osy Z je souhlasný se směrem (a smyslem) tloušťky rouna, které spočívá na rovině XY, přičemž se předpokládá, že tloušťka rouna je měřena od této (určovací) roviny.

Počátek souřadnicového systému je v případě potřeby nutno stanovit dohodou. Ve většině případů však není třeba počátek určovat.

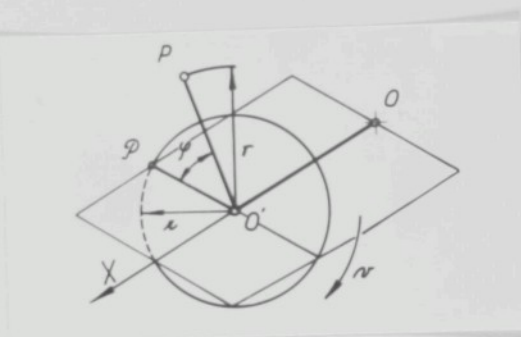
Směr v rouně bude určován úhlem β , ležícím v rovině XY, jehož velikost je měřena od hlavního směru. Druhý určovací úhel je γ a leží v rovině kolmé k XY. Jeho velikost je pak od této roviny měřena.

Pro dvourozměrné posuzování rouna bude použito pouze rovi-

ny XY, kterí v tomto případě nahrazuje skutečné rouno. Jednotlivé body skutečného rouna jsou v tomto náhradním rouně dány svými kolmými průměty do roviny XY. Pro měření směru pak odpadá úhel γ a směr kolmého průmětu přímky je určen pouze úhlem β .

4.1.22 Systém válcových souřadnic

Osa X splývá s osou usazovacího zařízení a je rovnoběžná i s pracovní šířkou stroje.



Obr. 5 Systém válcových souřadnic

Délka průvodiče bodu (r) je dána vzdáleností bodu P od osy X.

Úhel určující odstyklu průvodiče bodu (ϕ) se měří od roviny proložené osou X a voleným bodem P .

Při pohledu proti kladnému smyslu osy X roste úhel ϕ otáčením průvodiče ve směru hodinových ručiček.

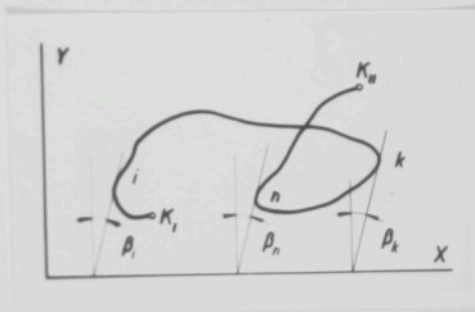
Počátek soustavy je volen jako v předchozím případě.

Je zřejmé, že tyto konvence mohou vystihnout skutečnost pouze ve zvláštních případech. Obecně nutno charakterizovat směr vlákna na základě statistického vyhodnocení směrů jeho úseků.

Úsek osy vlákna je část osy vlákna, jejíž délka je stanovena konverci, přičemž je nutno přihlédnout k poloměrům křivosti osy vlákna. Úseky osy vlákna jsou považovány za přímku.

Směr úseku osy vlákna je dán úhlem jeho kolmého průmětu (do určovací roviny) s hlavním směrem β a úhlem s určovací rovinou označovaným γ .

Sousedním úsekům vlákna přísluší směry vzájemně jen málo odlišné. Při zevrubném vyšetřování směru je nutné, aby bylo postupováno od počátku ke konci vlákna. Tento postup je nutný proto, aby z postupné změny směrů jednotlivých úseků bylo možno usoudit, zda naměřený úhel se neliší od skutečné hodnoty o $\pm \Delta$. Tento případ je patrný z dalšího obrázku, kde je znázorněn průmět vlákna do roviny XY. Měření směru jsou provedena v bodech i , k , n . Hodnoty směrové odchylinky pro jednotlivé body jsou : $\beta_i = \beta_k + \Delta$; $\beta_n = \beta_i + \Delta$.



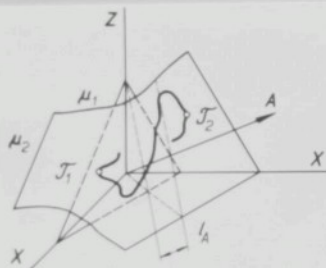
Obr. 6 Určení směrů úseků osy vlákna

Smysl úseku osy vlákna je dán kladným smyslem pohybu po ose vlákna od jeho počátku ke konci.

Pro ty případy, kdy není nutno brát zřetel na smysl osy vlákna, lze určovat směr úseku osy vlákna pouze v oboru hodnot β od $-\pi/2$ do $+\pi/2$.

4.2112 Zjednodušené charakteristiky tvaru osy vlákna

Tvar osy vlákna možno zjednodušeně charakterizovat přirovnáním jeho skutečné délky l k efektivní délce vlákna nebo k délce průsahu vlákna.



Obr. 7 Efektivní délka vlákna

Efektivní délkou vlákna se rozumí vzdálenost dvou rovin M_1 a M_2 . Tyto roviny jsou kolmé na daný směr A a dotýkají se vlákna v tečných bodech T_1 a T_2 . Efektivní délka je pak označována l_A , kde A značí dohodnutý směr.

Míra napřímení osy vlákna λ_A vzhledem k danému směru A je definována jako efektivní délka vlákna l_A vyjádřená v procentech jeho původní délky l .

$$\lambda_A = \frac{l_A}{l} \cdot 100$$

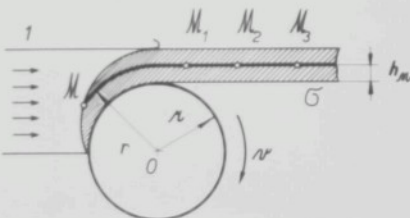
Míra plošného rozložení osy vlákna λ_p je dána délkou kol-

Pro vyšetření struktury oblasti rouna nutno se však uchýlit ke zprůměrovaným ukazatelům struktury, nebo v dané oblasti vztáhnout strukturu rouna k několika souborům míst.

4.231 Vzájemně srovnatelná místa a jejich soubory

4.2311 Pneumaticky vytvářené rouno

Za ideálního stavu se na kontinuálně pracujícím pneumatickém rounovacím stroji vytváří rouno tak, že technologické podmínky v jednotlivých místech kanálu 1 jsou časově neměnné. Jsou tedy technologické podmínky, při kterých se vytvořilo rouno v místě M_1 stejné, jako byly podmínky tvorby v místě M_1, M_2, M_3 , která se během dřívější výroby nacházela v tomtéž místě kanálu, v němž se nachází ve stávajícím okamžiku bod M_1 . Jednotlivá místa M_k si tedy vzájemně odpovídají a možno předpokládat, že relace mezi jejich strukturou bude ovlivněna jen nestálostí jevu.



Obr. 8 Srovnatelná místa v rouně

Vzájemně srovnatelná místa v pneumaticky vytvářeném rouně vypĺňují plochu ekvidistantně k určovací rovině \mathcal{O} .

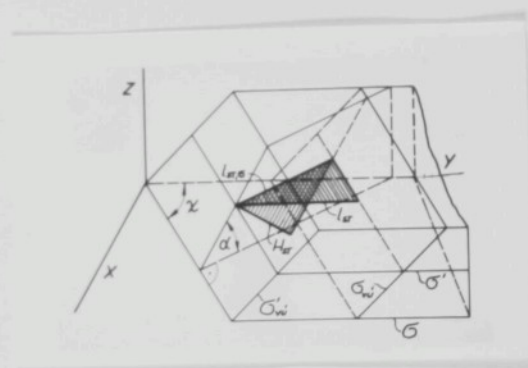
4.2212 Navrstvené rouno

Při kladení jednotlivých vrstev je dodržován stanovený program, který se po jedné periodě (střídě) vždy opakuje. V údobí příslušném jedné periodě se vytvoří délka rouna l_{st} . Budou tedy místa, která jsou ve směru odvádění navrstveného rouna vzájemně vzdálena o tuto vzdálenost, srovnatelná tehdy, jestliže souhlasí i jejich souřadnice X a Y.

Hodnotu l_{st} možno vypočítat na základě známé rychlosti odvádění rouna \mathcal{V} a doby jedné periody t_p .

Pak

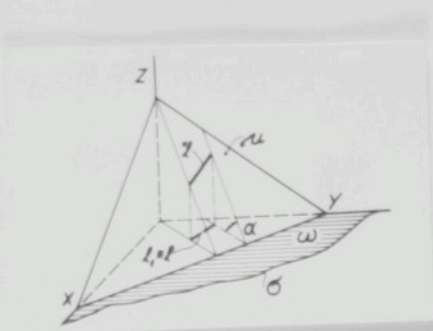
$$l_{st} = \mathcal{V} \cdot t_p$$



Obr. 9 Srovnatelná místa v navrstveném rouně

Hodnotu l_{st} možno vypočítat i ze známých údajů o vrstvení. Celková tloušťka vrstev tvořících jednu střidu je H_{st} , úhel zkřížení je χ a úhel α je sevřený určovací rovinou navrstveného rouna σ s určovací rovinou vrstveného útvaru σ_v . Pro průměr $l_{st\sigma}$ platí :

$$l_{st\sigma} = \frac{H_{st}}{\sin \alpha}$$



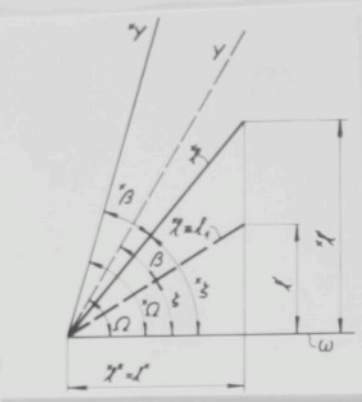
Obr. 10 Vznik pseudoorientace

Tato perspektivní afinita je charakterizována osou W' , směrem afinity (který je v tomto případě kolmý k ose) a poměrem sobě odpovídajících vzdáleností bodů od osy W' .

$$c = \frac{x\ell}{x\ell \cos\alpha}$$

$$c = \frac{1}{\cos\alpha} \quad (4.2/1)$$

Vztah distribučního diagramu orientace, kresleného v perspektivním souřadnicovém systému, příslušné rovině W k jeho průsahu do roviny σ (totožné s XY), je patrný z následujícího obrázku. Pro rovinu W jsou jednotlivé údaje označovány indexem x . Úhel hlavního směru xY vůči ose perspektivní afinity je $x\Omega$ a vyšetřovaná úsečka svírá s hlavním směrem úhel $x\beta$. Úhel seřazený rovinou W a rovinou XY je označený ω . V obrázku je nakreslen stav po vzájemném splynutí roviny XY s rovinou W tím, že jedna z nich je pootečena o úhel ω .



Obr. 11 Perspektivně affin vztah
úsečka vlákna a jeho průmětu

Tento případ bude prošetřen ze dvou hledisek, v nichž je sledována :

- závislost změny délky úsečky na její poloze v rovině,
- závislost zkreslení sobě odpovídajících úhlů.

Změna délky úsečky

Směrnice přímky $\overset{x}{\ell}$ je určována jako $\overset{x}{K}$ a rovná se tangentě úhlu $\overset{x}{f}$. Obdobně směrnice přímky ℓ se rovná tangentě úhlu f .

$$\overset{x}{K} = \frac{\overset{x}{\ell}'}{\overset{x}{\ell}''} \quad (4.2/2a)$$

$$K = \frac{\ell'}{\ell''} \quad (4.2/2b)$$

Spojením obou předchozích vztahů a dosazením za $\ell' = \overset{x}{\ell} \cos \alpha$
plyne :

$$K = \frac{K}{\cos \alpha}$$

$$\overset{x}{K} = K \cdot c \quad (4.2/3)$$

Pro poměr délek pak platí

$$\frac{x\ell}{\ell} = \frac{\sqrt{x\ell'^2 + x\ell''^2}}{\sqrt{\ell'^2 + \ell''^2}} \text{ a dosazením za } \ell', \ell'' \text{ a } x\ell', x\ell''$$

z rovnic 4.2/2a, 4.2/2b plyně

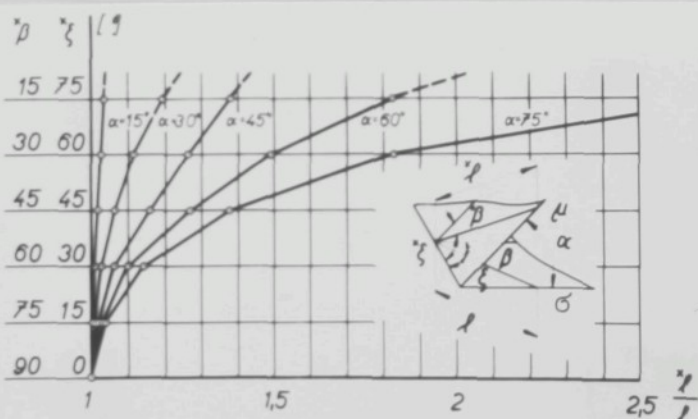
$$\frac{x\ell}{\ell} = \frac{\sqrt{x\mathcal{K}^2 + 1}}{\sqrt{\mathcal{K}^2 + 1}}$$

Dalším dosazením za \mathcal{K} z rovnice 4.2/3 vyplývá konečný vztah

$$\frac{x\ell}{\ell} = \frac{\sqrt{x\mathcal{K}^2 + 1}}{\sqrt{x\mathcal{K}^2/c^2 + 1}} \quad (4.2/4)$$

Z rozboru tohoto vztahu vyplývá, že pro úhel α proměnný v intervalu od 0 do $\pi/2$ nabývá $1/c^2$ hodnot od 1 do 0. Jmenovatel výrazu 4.2/4 je tedy menší než jeho čitatel.

Průběh této závislosti je znázorněn v následujícím vrstevnicovém diagramu.



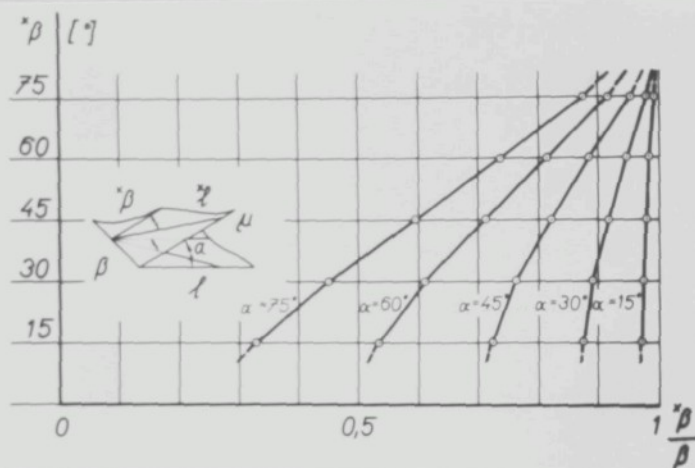
POZNÁMKA: HODNOTA β LZE POUŽÍT POUZE PRO
ZVLÁŠTNÍ PŘÍPAD, KDY $\beta + \xi = 90^\circ$

Obr. 12 Změna délky při pseudorientaci

Pro speciální případ, kdy je směr \hat{y} kolmý k ose W^* , plyne z funkce

$$\lim_{K_y \rightarrow \infty} \frac{\beta}{\beta} = \frac{\operatorname{arctg} \frac{1}{\kappa K}}{\operatorname{arctg} \frac{c}{\kappa K}} \quad (4.2/7)$$

Pro názornost je v následujícím vrstevnicovém diagramu znázorněna tato závislost pro zvláštní případ, kdy směr \hat{y} je kolmý na osu W^* .



Obr. 13 Změna úhlů při pseudoorientaci

4.2222 Distribuční diagramy orientace

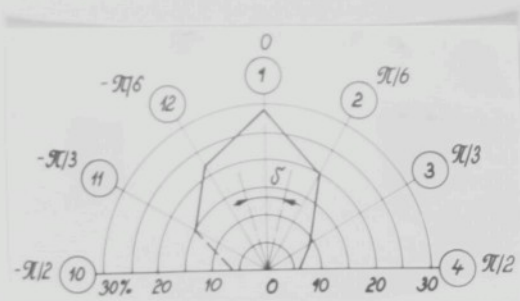
Při plošném vyšetřování orientace jsou jednotlivé radiusvektory ρ_ϕ nebo ρ_θ vynášeny v distribučním diagramu na paprsky, jejichž směr je shodný s osou příslušného úhlového intervalu. Pro rovinné vyšetřování jsou diagramy kresleny v systému polárních nebo pravoúhlých souřadnic. V obou případech jsou pak koncové body jednotlivých radiusvektorů spojeny lomenou čarou proto, aby bylo nazna-

čeno, že se jedná o spojnicí izolovaných bodů.

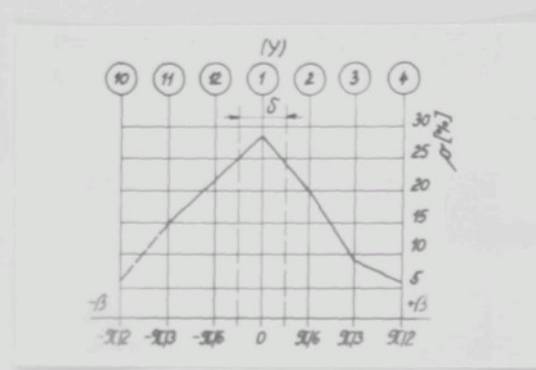
V systému polárních souřadnic se vynáší na jednotlivé páry řetěz výskytů směrů úseků osy vlákna, které jsou zatříděny do příslušného úhlového intervalu. Odchylka příslušného radiusvektoru je pak měřena od hlavního směru. Při vyšetřování směrů úseků osy vlákna není brán zřetel ke smyslu vlákna, takže je uvažován úhel β pouze v rozmezí od $-\pi/2$ do $+\pi/2$. Odchylky směrů β od svislice rostou ve směru otáčení hodinových ručiček. Osy úhlových intervalů je možno označit postupně ve směru růstu úhlu β čísly od 1 do M . Mezi úhlem β , sevřeným příslušným radiusvektorem s hlavním směrem a postupným číslem úhlového intervalu je vztah

$$k = \frac{\beta M}{2\pi} + 1$$

Oba způsoby znázornění jsou patrný z následujících obrázků.

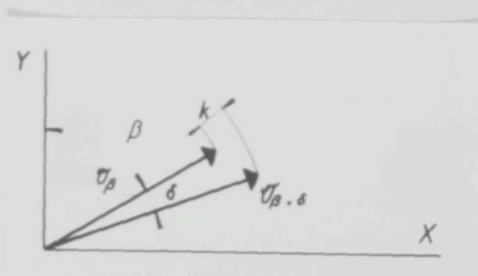


Obr. 14 Polární distribuční diagram orientace



Obr. 15 Distribuční diagram orientace
v pravoúhlém souřadnicovém systému

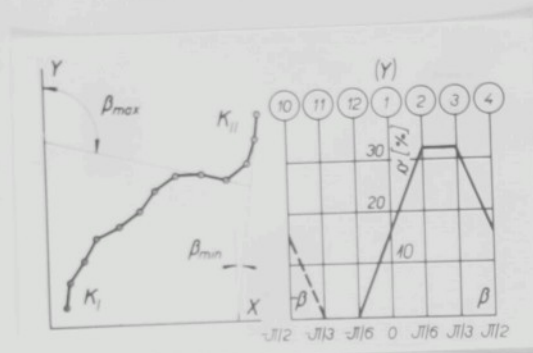
Počet zatříděných úseků vláken do libovolného úhlového intervalu může nabývat pouze hodnot celých kladných čísel, takže i pro velmi malé hodnoty úhlu $\tilde{\beta}$ bude differenze velikostí dvou sousedních radiusvektorů rovna nule nebo celému číslu. Z uvedeného je patrné, že pro měřitelné velikosti úhlových intervalů $\tilde{\beta}$ představují koncové body radiusvektorů soustavy vzájemně izolovaných bodů.



Obr. 16 Radiusvektory četnosti úseků
ve vzájemně blízkých směrech

K témuž závěru vede i skutečnost, že vlákno je konečné,

takže v případech, kdy není v sebe uzavřené, musí se projevit diskontinualita jeho místního směru.



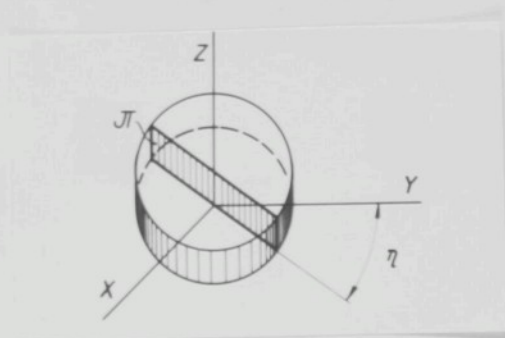
Obr. 17 Přetržitost distribučních diagramů orientace

Jestliže vyšetřovaná oblast rovna obsahuje větší počet vláken, dosáhne se plynulejšího průběhu distribučního diagramu než je znázorněno v předchozím případě, avšak nicméně diskontinualita trvá.

V distribučním diagramu neužívaném postup, jímž bylo vlákno vyšetřováno, také ani při úplném plošném vyšetření jednoho vlákna nelze obecně provést zpětnou rekonstrukci jeho osy. Výjimku tvoří vlákno kruhové a vlákno přímé. Při vyšetřování velkého počtu vláken, kdy nelze předpokládat, že by jednotlivá vlákna byla úplně vyšetřena, nelze z distribučního diagramu na tvar osy vlákna vůbec usuzovat.

4.23 Soustava vlákenných sítí

V studijní části byla zmínka, že Rupert charakterizuje strukturu rovna měrným počtem průsečíků vláken se svazkem rovin. Zjištění měrného počtu průsečíků klade poměrně malé



Obr. 18 Zjišťování měrného počtu průsečíků

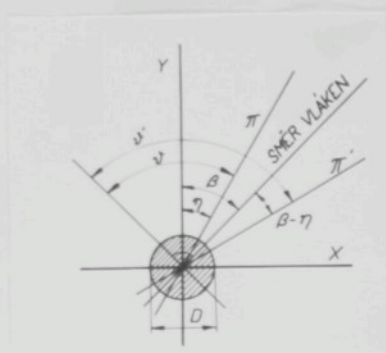
4.231 Výpočet pro vlnkennou síť

Při vyšetřování jedné vlnkenné sítě, protínané rovinami, jdoucími středem zorného pole, je α počet průsečíků s rovinou π , odchýlenou o úhel γ od hlavního směru. Počet průsečíků, připadajících na délkovou jednotku, je pak

$$a = \frac{\alpha}{\ell_k}$$

kde ℓ_k je vzdáłość mezi prvním a $(\alpha + 1)$ průsečíkem téže sítě s daným paprskem.

Natočení sítě vůči hlavnímu směru je dáno úhlem β , takže velikost hodnoty α , resp. při stejném D i hodnoty a , je závislá na rozdílu úhlů β a γ . Stejná hodnota a bude naměřena pro rovinu π a k ní souměrně položenou rovinu π' . Osou souměrnosti je paprsek β udávající směr vlnken.



Obr. 19 Označení úhlů a rovin

Pořadí označení z obrázku je patrné, že pro úhly ϑ a ϑ' , které určují sklon rovin π a π' vůči směru, kolmému ke směru vláken, platí

$$\vartheta = \frac{\pi}{2} - \beta + \eta \quad (4.2/3a)$$

$$\vartheta' = \frac{\pi}{2} + \beta - \eta \quad (4.2/3b)$$

Při tomto vyšetřování není přihlíženo ke smyslu, takže dostačuje rozsah hodnot úhlu od $0 \div \pi$. Hodnoty úhlů, které spadají mimo tento interval, mohou převést přičtením nebo odečtením π .

Pro maximální počet průsečíků musí rovina π resp. π' být kolmá ke směru vláken, takže úhel $\vartheta = 0$ a úhel $\vartheta' = \pi$.

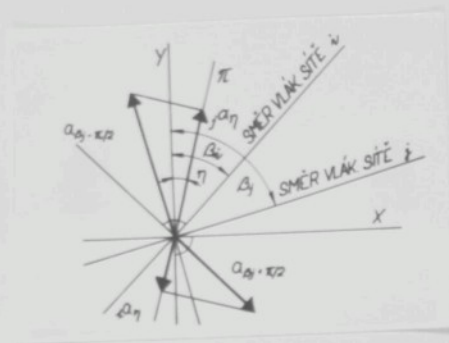
Pak platí

$$\eta = \beta \pm \frac{\pi}{2}$$

Nulový počet průsečíků bude naopak pro úhel $\vartheta = \vartheta' = \beta$. V dalším textu bude označován úhel, kterému přísluší měřený počet průsečíků a indexem, takže pak platí

$$a(\beta \pm \pi/2) = a_{\max}$$

$$a_\beta = a_{\min} = 0$$

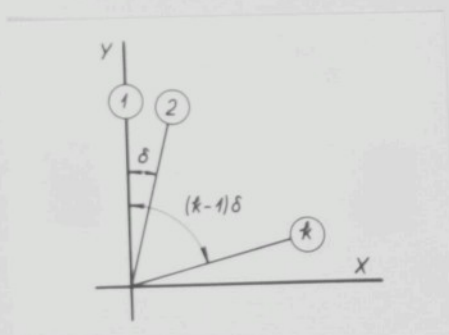


Obr. 20 Měrný počet průsečíků
pro dvě vlákkenné sítě

Dosazením za ϑ a ϑ' ze vztahů 4.2/8a, 4.2/8b vyplývá, že

$$A_{\eta} = \sum_{k=1}^{k=m/2} \left| a(\beta k \pm \pi/2) \cos \left[\frac{\pi}{2} \pm (\beta k - \eta) \right] \right| \quad (4.2/11)$$

Položu jednotlivých sítí vůči hlavnímu směru lze určit i pomocí úhlového intervalu v závislosti na konvenčně stanovených směrech 1, 2, 3, ..., m.



Obr. 21 Poloha vlákkenných sítí
vůči hlavnímu směru

Pro síť, jejíž směr je totožný s vytčeným hlavním směrem,

$${}^A\eta = \sum_{k=1}^{k=n/2} |\bar{\psi}_{(k-1)\delta}^I| \cos \left\{ \frac{\mathcal{K}}{2} \pm [(k-1)\delta - \eta] \right\} \quad (4.2/14)$$

V této rovnici jsou známy hodnoty ${}^A\eta$ pro všechny uvažované směry a hodnoty argumentu kosinu.

Jako příklad je uvedeno řešení této soustavy rovnic pro úhlový interval $\delta = \mathcal{K}/6$. Soustava rovnic tedy bude obsahovat šest rovnic o šesti neznámých. Tato soustava je uvedena na následující straně a řešením dle $\bar{\psi}_{(k-1)\delta}^I$ plyne výsledek :

$$\bar{\psi}_0^I = {}^A\eta_{5\delta/6} + {}^A\eta_{\delta/6} = 1,732 {}^A\eta_0$$

$$\bar{\psi}_{\delta/6}^I = {}^A\eta_0 + {}^A\eta_{\delta/3} = 1,732 {}^A\eta_{\delta/6} \quad (4.2/15)$$

Přižedne-li se k tomu, že hodnoty orientace jsou stejné pro směry vlivených sítí β a $(\beta \pm \mathcal{K})$, pak možno výsledek psát ve tvaru

$$\bar{\psi}_{\beta}^I = {}^A(\beta + 2\delta/6) \pm \mathcal{K}/2 + {}^A(\beta - 2\delta/6) \pm \mathcal{K}/2 = 1,732 {}^A\eta_{\beta}$$

Tentýž vztah lze rozepsat pro použití postupného číslování směrů úhlových intervalů, takže platí

$$\bar{\psi}_{(k-1)\delta}^I = {}^A(k+1 \pm 3)\delta + {}^A(k-3 \pm 3)\delta - 1,732 {}^A(k-1)\delta \quad (4.2/17)$$

Výpočtové hodnoty $\bar{\psi}^I$ možno převést na výpočtové hodnoty poměrné orientace podle následujících vztahů

$$\bar{\psi}_{\beta} = \frac{\bar{\psi}_{\beta}^I}{\sum_{\beta=0}^{\beta=n/2} \bar{\psi}_{\beta}^I} \cdot 100, \quad \text{nebo} \quad (4.2/18)$$

$$\bar{\psi}_{\beta} = \frac{\bar{\psi}_{(k-1)\delta}^I}{\sum_{k=1}^{k=n/2} \bar{\psi}_{(k-1)\delta}^I} \cdot 100 \quad (4.2/19)$$

$$A_{5\pi/6} = \bar{P}_0' |\cos(-\frac{2\pi}{3})| + \bar{P}_{\frac{\pi}{6}}' |\cos(\frac{\pi}{6})| + \bar{P}_{\frac{5\pi}{6}}' |\cos(\frac{5\pi}{6})| + \bar{P}_{\frac{7\pi}{6}}' |\cos(\frac{7\pi}{6})| + \bar{P}_{\frac{4\pi}{3}}' |\cos(\frac{4\pi}{3})|$$

$$A_{4\pi/6} = \bar{P}_0' |\cos(0)| + \bar{P}_{\frac{\pi}{6}}' |\cos(\frac{\pi}{6})| + \bar{P}_{\frac{5\pi}{6}}' |\cos(\frac{5\pi}{6})| + \bar{P}_{\frac{7\pi}{6}}' |\cos(\frac{7\pi}{6})| + \bar{P}_{\frac{4\pi}{3}}' |\cos(\frac{4\pi}{3})|$$

$$A_{\pi/2} = \bar{P}_0' |\cos \theta| + \bar{P}_{\frac{\pi}{6}}' |\cos(\frac{\pi}{6})| + \bar{P}_{\frac{5\pi}{6}}' |\cos(\frac{5\pi}{6})| + \bar{P}_{\frac{7\pi}{6}}' |\cos(\frac{7\pi}{6})| + \bar{P}_{\frac{4\pi}{3}}' |\cos(\frac{4\pi}{3})|$$

$$A_{3\pi/3} = \bar{P}_0' |\cos \frac{\pi}{6}| + \bar{P}_{\frac{\pi}{6}}' |\cos \frac{\pi}{3}| + \bar{P}_{\frac{5\pi}{6}}' |\cos \frac{5\pi}{6}| + \bar{P}_{\frac{7\pi}{6}}' |\cos \frac{7\pi}{6}| + \bar{P}_{\frac{4\pi}{3}}' |\cos \frac{4\pi}{3}|$$

$$A_{2\pi/3} = \bar{P}_0' |\cos \frac{\pi}{3}| + \bar{P}_{\frac{\pi}{6}}' |\cos \frac{\pi}{2}| + \bar{P}_{\frac{5\pi}{6}}' |\cos \frac{4\pi}{3}| + \bar{P}_{\frac{7\pi}{6}}' |\cos \frac{5\pi}{2}| + \bar{P}_{\frac{4\pi}{3}}' |\cos \frac{3\pi}{2}|$$

$$A_0 = \bar{P}_0' |\cos \frac{\pi}{2}| + \bar{P}_{\frac{\pi}{6}}' |\cos \frac{5\pi}{2}| + \bar{P}_{\frac{5\pi}{6}}' |\cos \frac{3\pi}{2}| + \bar{P}_{\frac{7\pi}{6}}' |\cos \frac{7\pi}{2}| + \bar{P}_{\frac{4\pi}{3}}' |\cos \frac{2\pi}{2}|$$

Z předchozího textu je patrné, že orientaci vlákených sítí v základní poloze je možno vyjádřit pomocí měrného počtu průsečíků vláken so svazkem paprsků.

Tuto závislost lze zřejmě dokázat i pro jiný úhlový interval než byla vpředu uvedeno.

Pro skutečné rouno nutno předpokládat výskyt rušivých vlivů, které vyplývají z rozdílnosti geometrického charakteru vlákených sítí a rouna. Lze se však domnívat, že i pro skutečné rouno bude existovat mezi oběma veličinami aspoň korelační vztah.

4.3 VYTVÁŘENÍ ROUNA NA USAZOVACÍM ZAŘÍZENÍ PNEUMATICKÝCH ROUNOTVOŘECÍCH STROJŮ

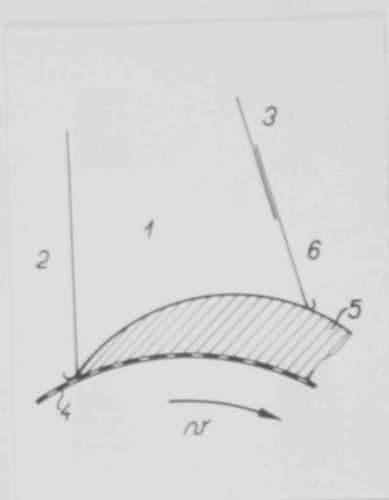
4.31 Úvod

4.311 Obecný popis zařízení

Kanálem 1, který je tvořený přední stěnou 2, zadní stěnou 3 a rokreslenými bočními stěnami, proudí směs vláken a nosného media. Na aktivní ploše usazovacího zařízení 4, která je prostupná pro nosné medium, se vytváří rouno 5.

Při přetržitém způsobu výroby se rouno odvádí z usazovacího zařízení ve stanovených časových údobích.

Při nepřetržitém způsobu výroby je rouno odváděno plynule. V tomto případě (pro který je kresleno schema) je zařízení doplněno ještě pohyblivým uzávěrem 6, umožňujícím výrobu různě tlustého rouna a zajišťujícím těsnost kanálu.



Obr. 22 Uspořádání usazovacího zařízení

4.312 Zjednodušující předpoklady

V této kapitole je sledováno vytváření rouna pouze z hlediska jeho podélného profilu a v úvahu jsou vzata jednoduchá usazovací zařízení s rovinou nebo válcovou usazovací plochou.

Je předpokládáno, že

- tloušťka vrstvy, která se v určitém časovém intervalu usadí, je podél příčného profilu rouna stálá. Tento předpoklad je v praxi nedosažitelný a jeho důsledek by mohl být naprostá rovnoměrnost hmotného průřezu (podél šířky). Velikost odchylek od tohoto stavu je jedním z ukažatelů úrovně strojního zařízení a stálosti technologického procesu. Je snahou přiblížit se k tomuto ideálnímu stavu ;
- měrná hmotnost usazeného rouna je neměnná ve všech jeho místech podél příčného profilu, jejichž zetová souřadnice

je stejná. Podobně jako v předchozím případě je i stálost měru hmotnosti ukazatelem kvality strojního zařízení :

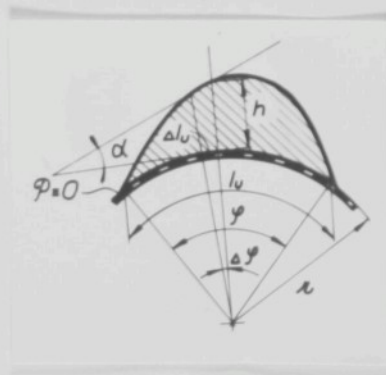
- prouducí směs vláken a nosného media obsahuje v místech, která jsou blízká povrchu tvořícího se rouna, časově nezměnný podíl vláken. Také střední rychlosť vláken je v těchto místech stálá. Tento požadavek je nutný pro spinání předchozích bodů. Obdobně je i tento stav prouducí ideální.

4.32. Přetržitá výroba

4.321 Základní pojmy

Vrstva rouna 1 (dále jen vrstva) je tvořena vláknovým materiálem, který se usadí na aktivní ploše usazovacího zařízení 2 (dále jen usazovacího zařízení) v době Δt .

Délka vrstvy je měřena na obvodu usazovacího zařízení.
Místní tloušťka vrstvy (dále jen tloušťka vrstvy) je měřena na paprsku vedeném ze středu křivosti usazovacího zařízení.



Obr. 23 Základní označení

Sklon povrchu podélného profilu vrstvy α (dále jen sklon povrchu vrstvy) je vztaven k tečné rovině usazovacího zařízení ve vyšetřovaném místě.

Měrná hmotnost vrstvy je různá v různých místech podélného profilu. Vzhledem k zjednodušujícím předpokladům bude dále uvažován pouze jeden podélný profil, neboť měrné hmotnosti v odpovídajících si místech všech podélných profilů mají být dle zjednodušujících předpokladů stejná.

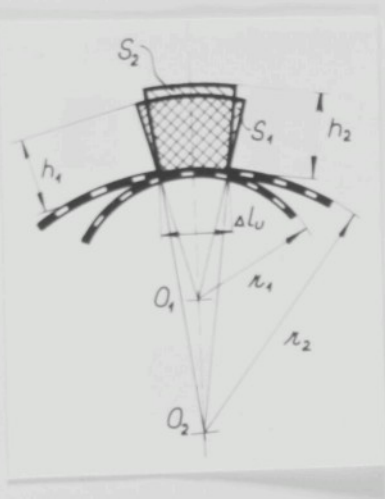
Intenzita usazování udává hmotnost vláken, která se v daném místě usadí za časovou jednotku.

Charakteristický profil vrstvy je profil vrstvy, vytvořené za předem stanovených podmínek, jimiž je vyloučen obecný tvar usazovacího zařízení, jeho délka a doba, během níž se vrstva vytvořila. Srovnáním charakteristických profilů lze zjistit rozdíly mezi jednotlivými výrobními zařízeními a usoudit na rozdílnost vlastního procesu usazování.

4.322 Podélný profil vrstvy

4.3221 Tloušťka

Na usazovacím zařízení se na části obvodu o délce Δl_0 a poloměru R_1 usadí v době Δt vrstva o tloušťce h_1 . Obecnou závislost tloušťky vrstvy h_2 usazené na jiném usazovacím zařízení o poloměru R_2 za jinak nezměněných podmínek lze nalézt ze vztahu, který vyplývá z rovnosti objemů, resp. z rovnosti příslušných ploch podélných profilů S_1 a S_2 , za předpokladu, že i měrné hmotnosti β_1 a β_2 jsou pro oba případy stejné.



Obr. 24 Vrstva při různém poloměru usazovacího zařízení

$$S_1 = \frac{\mathcal{N}[(\kappa_1 + h_1)^2 - h_1^2]}{2\pi\kappa_1} \Delta l_u$$

$$S_2 = \frac{\mathcal{N}[(\kappa_2 + h_2)^2 - h_2^2]}{2\pi\kappa_2} \Delta l_u$$

Srovnáním obou výrazů a jejich úpravou plyně :

$$\frac{h_2^2 + 2h_2/\kappa_2}{h_1^2 + 2h_1/\kappa_1} = \frac{2\kappa_1 h_1 + h_1^2}{\kappa_1} \kappa_2 = 0$$

Rешením poslední rovnice dle h_2 a po přihlédnutí ke skutečnosti, že fyzikální význam má pouze kladný kořen, plyně :

$$h_2 = -\kappa_2 + \kappa_2 \sqrt{1 + \frac{2 h_1 \kappa_1 + h_1^2}{\kappa_1 \kappa_2}} \quad (4.3/1)$$

Pro speciální případ přepočtu na rovinou usazovací plochu, ježíž poloměr $\kappa_2 \rightarrow \infty$ platí :

$$S_R = \Delta l_u h_{2R} \quad (4.3/2)$$

Z rovnosti ploch $S_1 = S_R$ plyne po dosazení z předchozích vzorců :

$$h_{2R} = h_1 + \frac{h_1^2}{2\lambda l_1} \quad (4.3/3)$$

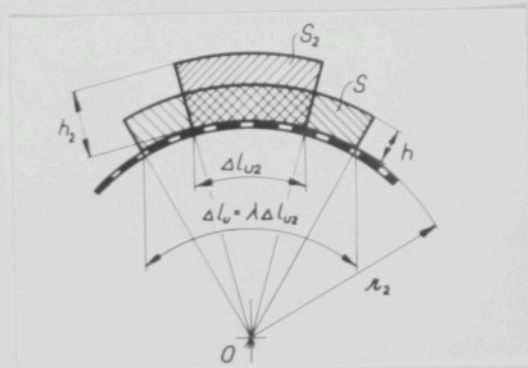
Pro srovnání profilu vrstvy, které se usadí na různých usazovacích zařízeních, lišících se navzájem nejen poloměrem, ale i délkou usazovací plochy, je třeba provést prepočet, v němž bude vztah v úvahu i tento druhý rozdíl.

Délka vrstvy, která se vytvořila na původním usazovacím zařízení, je l_u a délka vrstvy u druhého usazovacího zařízení je l_{u2} . Odpovídající si vzdálenosti na obou aktivních plochách budou ve stálém poměru λ , takže platí :

$$\lambda = \frac{l_u}{l_{u2}} = \frac{\Delta l_u}{\Delta l_{u2}} \quad (4.3/4)$$

Z rovnosti ploch S_2 a S , příslušných odpovídajícím si časem podélných profilů vrstvy, vyplývá vztah

$$\frac{\pi[(h_2 + h_2)^2 - h_2^2]}{2\pi h_2} \Delta l_{u2} = \frac{\pi[(h_2 + h)^2 - h^2]}{2\pi h_2} \Delta l_u \lambda$$



Obr. 25 Vrstva při různé délce usazovacího zařízení

Po úpravě předchozího vztahu plynne řešením dle h

$$h = -\nu_2 + \sqrt{\nu_2^2 + \frac{2\nu_2h_2 + h_2^2}{\lambda}} \quad (4.3/5)$$

V tomto vztahu je opět uvažován pouze fyzikálně významný kladný kořen.

Jestliže vztah pro S_2 přirovnáme k výrazu pro plochu příslušného podélného profilu vlákenné vrstvy rovinného usazovacího zařízení, jehož délka je v závislosti na původním usazovacím zařízení dána poměrem λ , pak plynne vztah

$$\frac{\lambda[(\nu_2 + h_2)^2 - \nu_2^2]}{2\nu_2} \Delta l_2 = h_R \lambda \Delta l_2$$
$$h_R = \frac{1}{\lambda} (h_2 + \frac{h_2^2}{2\nu_2}) \quad (4.3/6)$$

4.3222 Plošná hmotnost

Při konstantní měrné hmotnosti vrstvy se mění s její tloušťkou plošná hmotnost dle známé závislosti

$$\varrho_s = h \varrho \quad (4.3/7)$$

Zavedením za příslušná h do vztahů 4.3/1 a 4.3/3 plynne
- pro transformaci poloměrů ν_1 na ν_2 : usazovací plochy

$$\varrho_{s2} = -\varrho \nu_2 + \sqrt{\varrho^2 \nu_2^2 + \frac{2\nu_1 \varrho \sin \varphi + \varrho^2 \sin^2 \varphi}{\nu_1} \nu_2} \quad (4.3/8)$$

- pro transformaci ze zakřivené, na rovinnou usazovací plochu

$$\varrho_{s2R} = \varrho_{s1} + \frac{\varrho_{s1}^2}{2\nu_1 \varrho} \quad (4.3/9)$$

- pro obecný případ, kdy se mění jak poloměr usazovací podložky, tak i její délka, plynne po dosazenf příslušných h z rovnice 4.3/7 do rovnice 4.3/5

$$\rho_s = -\rho \nu_2 + \sqrt{\nu_2^2 \rho^2 + \frac{2\nu_2 \rho_{s2} \rho + \rho_{s2}^2}{\lambda}} \quad (4.3/10)$$

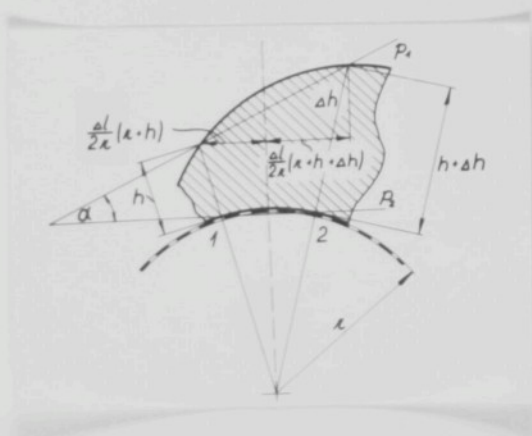
Obdobným dosazením do rovnice 4.3/6 plyná pak pro rovinou usazovací plochu

$$\rho_{sr} = \frac{1}{\lambda} (\rho_{s2} + \frac{\rho_{s2}^2}{2\nu_2 \rho}) \quad (4.3/11)$$

4.3.2.3 Sklon povrchu

Tloušťky vrstvy, které přísluší různým místům povrchu usazovací plochy 1 a 2, jsou h a $(h + \Delta h)$. Úhel sklonu vrstvy α je pro dostatečně malé hodnoty Δl dán vztahem

$$\tan \alpha = \frac{\Delta h}{\frac{\Delta l}{2\nu} [(\nu + h) + (\nu + h + \Delta h)]}$$



Obr. 26 Sklon povrchu vrstvy

Upravou tohoto vztahu plyná

$$\tan \alpha = \frac{\Delta h / \nu}{\Delta l / (\nu + h + \frac{\Delta h}{2})} \quad (4.3/12)$$

Pro rovinou usazovací podložku zřejmě platí

$$\operatorname{tg} \alpha_R = \frac{\Delta h_R}{\Delta t} \quad (4.3/13)$$

4.323 Charakteristický profil vrstvy

V předchozích úvahách nebyla do výpočtů zahrnuta doba, během níž probíhalo usazování. Pro vzájemnou srovnatelnost procesu usazování je třeba přepočítat tvar usazené vrstvy na stejné podmínky, tj. na

- jednotnou křivost usazovacího zařízení
- jednotnou délku usazovacího zařízení
- jednotnou dobu usazování.

Konvenčí lze tyto ukazatele stanovit, takže přepočteme obecně srovnatelný profil usazené vláknité vrstvy, který bude dále nazýván charakteristickým profilem.

Charakteristický profil vrstvy je tedy podélní profil vrstvy, která by se usadila na roviném usazovacím zařízení jednotkové délky v době 1 s za předpokladu, že usazovací proces je časově neměnný.

V dalším textu budou přepočítávané hodnoty značeny indexem 1 a hodnoty odpovídající charakteristickému profilu budou označovány hvězdičkou (*).

4.3231 Tloušťka

Při konstantním (časově neměnném) průběhu usazování bude platit přímá úměrnost

$$\frac{h^*}{1} = \frac{h}{\Delta t}$$

Tloušťka vrstvy vyplývá ze vztahu 4.3/6, kde

$$\lambda^* = 1/l_{ul}$$

$$h^* = \frac{1}{\Delta t \lambda^*} (h_1 + \frac{h_1^2}{2l_1}) \quad (4.3/14)$$

4.3232 Plošná hmotnost

Pro plošnou hmotnost platí stejná úvaha jako v předchozím případě, takže ze vzorce 4.3/11 vyplývá

$$\rho_s^* = \frac{1}{\Delta t \lambda^*} (\rho_{sl} + \frac{\rho_{sl}^2}{2l_1}) \quad (4.3/15)$$

4.3233 Sklon povrchu

Sklon povrchu je dán obecným vztahem

$$\operatorname{tg} \alpha^* = \frac{\Delta h^*}{\Delta l_u}$$

V místech usazovací podložky, která jsou vzdálena o Δl_u byly v původní vrstvě místní tloušťky h_1 a h_3 . Po transformaci jim přísluší tloušťky h_1^* a h_2^* . Bude tedy platit

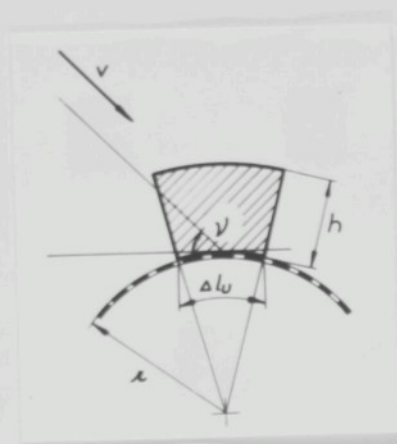
$$\operatorname{tg} \alpha^* = \frac{h_1^* - h_2^*}{\Delta l_u}$$

Po dosazení ze vzorce 4.3/14a a po úpravě plyne

$$\operatorname{tg} \alpha^* = \frac{1}{\Delta l_u \Delta t \lambda^*} (\Delta h_1 + \frac{h_1^2 - h_2^2}{2l_1}), \quad (4.3/16)$$

4.324 Intenzita usazování

Na ploše usazovacího zařízení se v bodě Δt vytvoří vrstva, jejíž čist příslušná délce Δl_u usazovací podložky je znázorněna na obrázku.



Obr. 27 Usazování vláken

Vlákna, která dopadají v průběhu doby Δt na podložku, se před stykem s plachou již usazené části vrstvy pohybují rychlostmi v .

Hmotnost vláken, která se nachází v prostorové jednotce směsi (nosného media a vláken), je Q_{VL} .
Jednotkovou plochou (měrenou kolmo ke směru rychlosti) projde v časové jednotce I_p vlákenné hmoty.

$$I_p = Q_{VL} \quad (4.3/17)$$

Tento součin lze nazvat intenzitou proudu vláken a definovat hmotností vláken, prošly jednotkovou plochou v čase 1 s, přičemž plocha je postavena kolmo ke směru rychlosti. Velikost intenzity proudu je obecně proměnná jak místně, tak i v průběhu doby Δt , během níž se mění podmínky proudu (neboť odpor proudu, kladený již usazenými vlákny, vzrůstá). Hodnoty v a Q_{VL} nutno brát jako hodnoty střední, příslušející době usazování Δt .

Jestliže usazovací podložka svírá se směrem střední rychlosti úhel ϑ , pak v časové jednotce

ce se usadí na jednotkové ploše usazovací podložky vlákna o celkové hmotnosti I_u . Tato veličina je pak analogicky nazvána intenzita usazování.

Při malém ΔI_u vůči ν je možno považovat usazovací podložku za rovinou a pak platí vztah

$$I_u = I_p \cos (\vartheta - \frac{\pi}{2}) \quad (4.3/18)$$

Intenzita usazování je tedy definována hmotností vláken, která se v časové jednotce usadí na jednotkové usazovací ploše.

Z rovnosti hmotnosti vláken, která tvoří část vrstvy a která se v téže době usadí, plyne :

$$V_1 \circ = I_u \Delta t S_1 \quad (4.3/19)$$

Zde V_1 je objem pozorované části vrstvy a S_1 je střední hladkota plochy, na níž se vlákna usazují.

Z názoru vyplývá, že

$$V_1 = \frac{\pi [(\lambda + h)^2 - \lambda^2]}{2\pi \mu} \Delta I_u b$$

$$S_1 = (\Delta I_u + 2 \cdot \frac{2}{\pi} \cdot \frac{h}{2}) b$$

Dosazením vypočtených hodnot V_1 a S_1 do vztahu 4.3/19 po úpravě pláne

$$h \circ = I_u \Delta t$$

$$h = \frac{I_u \Delta t}{\circ} \quad (4.3/20)$$

Dosadí-li se za I_u ze vztahu 4.3/18, pak

$$h = I_p \frac{(\sin \vartheta) \Delta t}{\circ}$$

Dosazením za h ze vztahu pro plošnou hmotnost 4.3/7 obdržíme

$$\phi_s = I_u \Delta t, \quad \text{nebo} \quad (4.3/21a)$$

$$\phi_s = I_p (\sin \vartheta) \quad (4.3/21b)$$

4.33 Nepřetržitá výroba

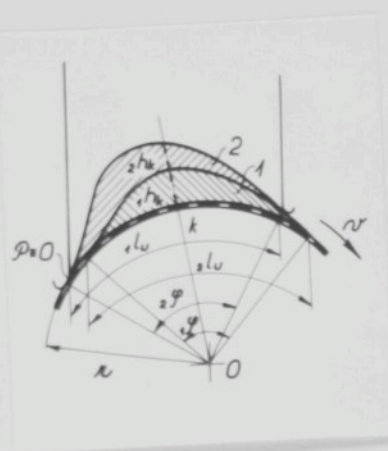
4.331 Základní pojmy

Kontinuálně probíhající děj usazování vláken na pohyblivém usazovacím zařízení možno považovat za opakující se děj, jehož perioda Δt je velmi malá. Celý děj je možno rozdělit na dvě fáze, kdy

- v první fázi trvající dobu Δt se vlákna usazují, přičemž je usazovací zařízení v klidu,
- ve druhé fázi se skokem posune usazovací zařízení o délce $\Delta l_u = \Delta t \nu$.

Obě tyto fáze se pak v průběhu děje periodicky opakují.

V počátečních fázích výroby je zřejmě neustálený stav. První usazená vrstva má délku l_1 a poněvadž se usazuje na zařízení, které není pokryto vláknem, bude v určitém jeho místě k intenzita usazování I_k jiná, než při usazování druhé vrstvy. V tomto případě bude už totiž v místě k na usazovací ploše, vzdáleném od bodu usazovací plochy 0 o $l_k = k \Delta l$ příslušná část první vrstvy. Při usazování druhé vrstvy bude místní odpor proudění větší, takže i hodnota $2I_k$ se bude lišit od předchozí. V důsledku toho se budou lišit i tloušťky, plošné hmotnosti, resp. i hustota obou vrstev.

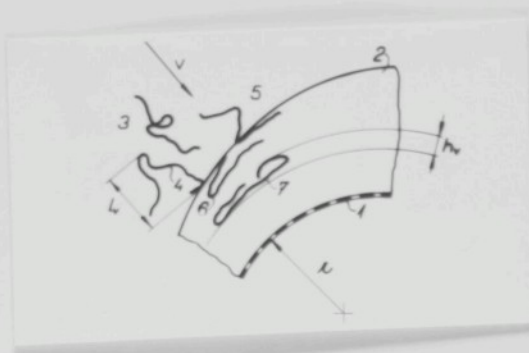


Obr. 28 Průběh usazování vláken

Je zřejmé, že i další vrstvy se budou vzájemně lišit až dotud, než tvar profilu rouna na usazovací ploše bude po uplynutí každého intervalu Δt stálý. V tomto okamžiku nastane i ustálený výrobní stav, umožňující tvarově stejných vrstev.

4.3.2 Průběh usazování vrstvy

Na usazovací podložce 1 je ve sledovaném okamžiku vytvořená část rouna 2. Vlákna se pohybují k usazovací podložce rychlostí v . V průběhu výrobního procesu jsou některá vlákna 3 mimo styk s usazenou vrstvou, zatímco jiná vlákna 4, 5, 6 se již usazovacího procesu účastní a vlákna 7 jsou již úplně překrytá.



Obr. 29. Poloha vláken vůči tvořící se čističi rouna.

Vlákno 4 je znizorněno při prvním styku s povrchem usazenej vrstvy, kdežto vlákno 5 se právě uklídá a vlákno 6 právě dokončilo proces uklidání.

Střední délka průmětu vláken do směru rychlosti je l_v , takže při jeho známé rychlosti v platí pro střední dobu usazování vlákna Δt_v

$$\Delta t_v = \frac{l_v}{v}$$

přičemž podle předchozího textu

$$l_v = \frac{\ell \cdot \lambda_v}{100}$$

Velikost průmětů jednotlivých vláken je proměnná, takže velikost Δt_v může nabývat hodnot od 0 do $1/v$. Maximální tloušťka usazené vrstvy $h_{v \max}$ přísluší doba

$$\Delta t_{v \max} = \frac{1}{v}$$

Po dosazení do vztahu 4.3/20

$$h_{v \ max} = \frac{l_u \cdot 1}{\varphi v} \quad (4.3/22a)$$

a po dosazení z rovnice 4.3/21a za l_u

$$h_{v \max} = \frac{\varrho_s l}{\Delta t \varrho v} \quad (4.3/32b)$$

Doba $t_{v \max}$, resp. tloušťka $t_{v \max}$ charakterizuje vrstvu, která má tu vlastnost, že všechna vlákna, která se v době t_0 dotkla podložky, musí být obsažena uvnitř této vrstvy.

Z poměru $h_{v \max}/l$ si lze po dosazení hodnot učinit představu o plošném rozložení vlákna a vrstevnatém charakteru rouna.

$$h_{v \max} = \frac{I_u}{v}$$

$$= \frac{\varrho_s}{\Delta t \varrho v}$$

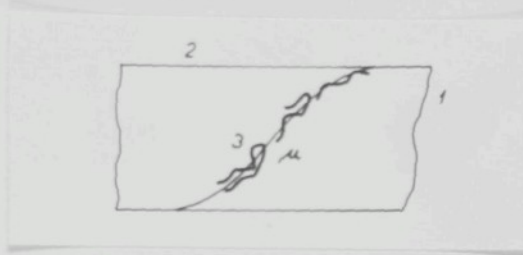
Jestliže se zvolí hodnoty $\varrho_s = 0,1 \text{ kg m}^{-3}$
 $\Delta t = 1 \text{ s}$
 $\varrho = 10 \text{ kg m}^{-3}$
 $v = 5 \text{ m s}^{-1}$,

pak pro hodnotu $h_{v \max}/l$ plyne po dosazení

$$\frac{h_{v \max}}{l} = \frac{1}{500}$$

Tato hodnota se mění v závislosti na místních podmínkách usazování, avšak je patrné, že max. tloušťka vrstvy $h_{v \max}$ v níž může vlákno ležet, je oproti délce vlákna poměrně malá, takže vlákno, uložené v rouně, má výrazně plošný charakter.

Oblast rouna 1, která je vytvořena před sledovaným okamžikem, je oddělena od oblasti 2, vytvořené v pozdější době fiktivní plochou μ .



Obr. 30 Fiktivní plocha vrstvy

Při kontinuální výrobě však touto fiktivní plochou prostupují vlákna 3, která jsou dle předchozího textu přibližně plošně rozložená v této ploše, neboť vláknům příslušné vzdálenosti h_y jsou oproti délce vlákna 1 malé. Zřejmě je zde vytvářena vrstevnatá struktura, která je souhlasná s plochou μ . Vymezení plochy možno provést při kontinuálním výrobním procesu tak, že je přerušena dodávka vláken. Tím klesne intenzita usazování na Θ a usazení vlákna vytvoří plochu μ .

Počet vláken, která prostupují plochou μ , lze vypočítat následovně :

Hmotnost všech vláken, která se v časové jednotce usadí na jednotkové usazovací ploše, je dána intenzitou usazování I_u .

Při jemnosti vlákna Td a jeho délce l je hmotnost vlákna m

$$m = \frac{Td \cdot l}{9 \cdot 10^6}$$

v časové jednotce se usadí počet vláken M

$$M = \frac{I_u}{m}$$

a po dosazení

$$\mathcal{N} = \frac{2 \cdot 10^8 I_u}{1 \text{d} \cdot 1} \quad (4.3/23)$$

Střední doba mezi dvěma dotyky vláken (po sobě dopadajících) s povrchem usazovací plochy je

$$\mathcal{T} = \frac{1}{\mathcal{N}} = \frac{1 \text{d} \cdot 1}{2 \cdot 10^8 I_u} \quad (4.3/24)$$

Porovnáním této doby se střední dobou potřebnou k usazení vlákna plyne, že v době usazení vlákna dopadne na usazovací plochu N vláken.

$$N = \frac{\Delta t_v}{\mathcal{T}}$$

$$N = \frac{1_v}{v} \cdot \frac{2 \cdot 10^8 I_u}{1 \text{d} \cdot 1} \quad (4.3/25)$$

Pomíř počtu vláken, která jsou uvnitř vrstvy k vláknům, která přestupují do sousedních vrstev, lze vypočítat následovně :

Počet vláken, která jsou obsažena ve vrstvě, vytvořené v době periody Δt , je

$$\mathcal{N}_c = \mathcal{N} \Delta t$$

a po dosazení za $\Delta t = \frac{1_u}{v}$ do předchozí rovnice obdržíme

$$\mathcal{N}_c = \frac{2 \cdot 10^8 I_u \Delta t_u}{1 \text{d} \cdot 1 \cdot v} \quad (4.3/26)$$

Z počtu vláken \mathcal{N}_c , obsažených ve vrstvě, přesahuje N vláken do každé z obou ploch μ a μ' , fiktivně ohraničujících tuto vrstvu. Ve sledované vrstvě zůvýší tedy pouze $\mathcal{N}_c - 2 N$ vláken, která nezasahují do sousedních vrstev. Po dosazení za N a \mathcal{N}_c ze vztahů 4.3/25, 4.3/26 do poměru

$$\frac{\mathcal{N}_c}{N} = 2N$$

je patrné, že na jedno vlnkno, zasahující do sousedních vrstev, připadá

$$\frac{\Delta l_u}{l_v / \nu} = 2 \text{ celých vlnkna}$$

4.333 Neustálený stav

Z předchozího textu vyplývá, že ustálený stav výroby může nastat teprve tehdy, když se vyrobí délka rouna, která odpovídá délce aktuální plochy usazovacího zařízení l_u . Doba, která přísluší výrobě této počítací části rouna, je T_{ne} a její hodnota je dána vztahem

$$T_{ne} = \frac{l_u}{\nu} \quad (4.3/27)$$

Z praktického hlediska nemá význam vyšetřovat podmínky na neustáleného stavu, neboť vzhledem k malé hodnotě T_{ne} je pro vlastní výrobu netypický.

4.334 Ustálený stav

4.3341 Tloušťka rouna

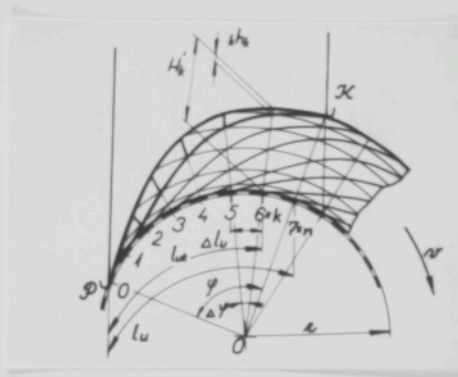
Při kontinuální výrobě je na usazovacím zařízení část tvořící se rouna, jehož podélný profil prochází body 0, K, n. Na konci každé periody, tj. po uplynutí doby Δt , je profil, příslušný tvořící se části rouna, vždy stejný. Vzdálenost l_u , měřenou po obvodu usazovací plochy, možno rozdělit na n dílů, pro něž dle předešlého platí

$$\Delta l_u^n = l_u$$

$$\Delta l_u = \nu \Delta t$$

V každém časovém intervalu Δt se vytvoří vrstva a vzhle-

dem k ustálenému stavu výroby budou všechny tyto vrstvy shodné, avšak vůči válcovému souřadnicovému systému budou vzájemně pootočené o úhel $\Delta\varphi$.



Obr. 31 Ustálený stav výroby rouna

V místě k na obvodu usazovacího zařízení, pro které platí

$$l_{uk} = k \Delta l_u \quad (\text{kde } k < n),$$

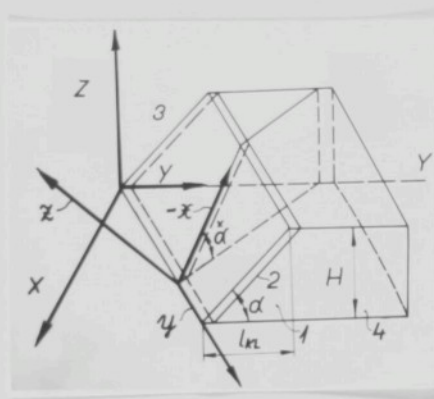
protíná paprsek O k celkem k vrstev. Místní tloušťka, příslušná tvořící se části rouna, je v bodě k dána h_k . Její velikost lze vypočítat součtem tloušťek jednotlivých vrstev.

Tloušťka poslední vrstvy k, příslušná vyšetřovanému místu, je h_k . Obdobně pak tloušťka předposlední, tj. (k - 1)te vrstvy je h_{k-1} . Tato předposlední vrstva však odpovídá pootočené poslední vrstvě, takže platí

$$(k-1)h_k = h_{k-1}$$

Lze tedy vypočítat tloušťku h_k v místě k dvojím způsobem:
- sečítáním místních tloušťek všech vrstev podél řezu O-k

Poloha kladené vrstvy je vůči navrstvenému rounu charakterizována vzájemným natočením souřadnicových soustav obou útvarů. Pro obecný případ kontinuálně vyráběného vrstveného rouna má část tvořícího se rouna 1 tvar klinu, na jehož šikmou plochu 2 se klade vrstvený útvar 3.



Obr. 32 Souřadnicové systémy při vrstvení

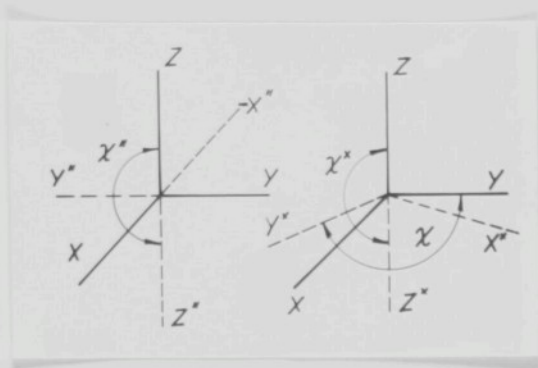
Souřadnicový systém vrstveného útvaru, daný soustavou pravoúhlých souřadnic \mathcal{X} , \mathcal{Y} , \mathcal{Z} , je obecně natočen vůči souřadnicovému systému navrstveného rouna, který je dán soustavou pravoúhlých souřadnic X , Y , Z . Určovací rovina vrstveného útvaru je dána jeho souřadnicovými osami \mathcal{X} , \mathcal{Y} , zatímco určovací rovina navrstveného rouna je dána pravoúhlými souřadnicemi X , Y .

Oběma určovacími rovinami je sevřen úhel α , jehož velikost je dána vztahem kde; $\alpha = \arctg \frac{H}{l_{KL}}$

$$\alpha = \arctg \frac{H}{l_{KL}},$$

kde H je tloušťka navrstveného rouna a l_{KL} je délka klinu. S přihlédnutím k poměrům, které se vyskytují v praxi, mož-

no úhlu α zanedbat, takže postočení obou souřadnicových systémů není obecné, nýbrž směry osy Z a X splynou.^{x)}



Obr. 33 Souřadnicové systémy při zanedbání úhlu α

Při zanedbání úhlu α mohou nastat dva charakteristické případy vzájemného postavení obou souřadnicových systémů. Pro tyto případy jsou v dalším textu používány termíny, které jsou běžné v textilní technologii.

Jestliže hlavní směry obou soustav splývají, pak způsob vrstvení je nazýván vrstvením rovnoběžným. Pro lepší přehled bude používáno následující označení :

- X_o, Y_o, Z pro souřadnicový systém soustavy navrstveného rouna,
- a. X'', Y'', Z'' pro souřadnicový systém vrstveného útvaru,
- χ'' pro úhel z-ových souřadnic.

^{x)} Poznámka : Skutečná velikost úhlu α vyplývá z praktického příkladu :

Jestliže $H = 0,1 \text{ m}$, $I_{KL} = 1,8 \text{ m}$, pak plynne, že $\alpha = 3,2^\circ$.

Po dříve stanovené konvenci jsou souřadnicové systémy jak vrstveným útvarů, tak i navrstveného rouna dány v závislosti k výrobnímu stroji : pro vrstvený útvar je souřadnicový systém vztužený ke stroji, na němž byl tento útvar vyráběn a pro navrstvené rouno je souřadnicový systém vztužen k vrstvícímu stroji.

Při vrstvení může nastat překládání vrstvených útvarů, takže i při dodržení zásady rovnoběžnosti hlavních směrů jsou možné čtyři vzájemné polohy obou soustav (viz následující tabulku).

SCHEMA VZÁJEMNÉ POLOHY SOUŘADNICOVÝCH SYSTÉMU					
ZPŮSOB VRSTVENÍ	SOUSTAVA			VRSTVENÉHO	VRSTVENÉHO
OZNAČENÍ	ÚHEL	ÚHEL	NAVZRSTVENÉHO	ROUNA	ÚTVARU
I	θ	θ			
II	θ	π			
III	π	π			
IV	π	θ			

Obr. 34 Schema vzáj. polohy souřadnicových systémů při rovnoběžném vrstvení

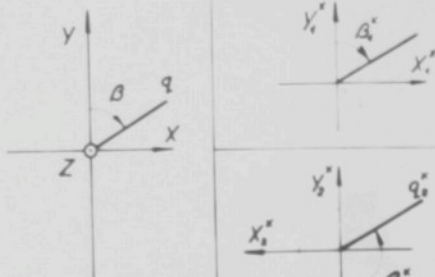
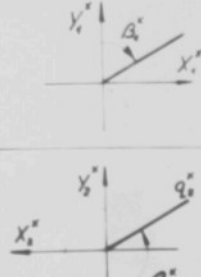
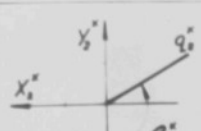
Poznámka : Případ rovnoběžného vrstvení označený v tabulce $\text{N}^{\circ} \text{I}$ se v praxi vyskytuje při navýšení vrstveného útvaru, tj. na stroji listovacím, nebo při navýšení pavučiny na bubínku mykacího stroje. V případě $\text{N}^{\circ} \text{III}$ je vzájemná poloha určovacích rovin souměrná dle směru X. S tímto způsobem vrstvení je možno se setkat při vrstvení "cik cak". V tomto případě sousední vrstvy jsou k sobě privráceny, vždy stejnojmennými stranami (líc k lící, rub k rubu). Případy $\text{N}^{\circ} \text{II}$ a $\text{N}^{\circ} \text{IV}$ se v běžné praxi nevyskytují a jsou zde uváděny pro úplnost.

Směr paprsku q, který leží v rovině XI, je v souřadnicové soustavě navrstveného rouna určen úhlem β . Jestliže v ostatních soustavách označených N° leží obdobné paprsky q''_{N} , které mají vůči soustavě navrstveného rouna stejný směr, pak příslušný úhel β_{N} , charakterizující tento směr v soustavách N° , se změní na úhel β''_{N} . Kladný smysl růstu úhlu β resp. β''_{N} je dán pro každou soustavu myšlenou otáčením od kladné větve osy Y ke kladné větvi osy X.

Pro vzájemný vztah odpovídajících si úhlů β''_{N} a β platí následující transformační rovnice :

SOUSTAVA NAVRSIVENÉHO ROUNA	SOUSTAVA VRSTVENÉHO ÚTVARU		
	ZPŮSOB VRSTVENÍ N°	TRANSFORMAČNÍ VZTAH SYMBOLICKÉ OZNAČENÍ β''_{N}	
β	I	β'_i	β
	II	β''_I	$2\pi - \beta$
	III	β''_{II}	$\pi - \beta$
	IV	β''_{II}	$\pi + \beta$

Obr. 35 Transformace úhlu β při rovnoměrném vrstvení

SCHEMA VZÁJEMNÉ POLOHY SOUŘ. SYSTÉMŮ PRO $\chi = 0$			
ZPŮSOB VRSTVENÍ	SOUSTAVA		
OZNAČENÍ	ÚHEL	NAVRSTVENÉHO ROUNA	VRSTVENÉHO ÚTVARU
α	χ'		
1	θ		
2	π		

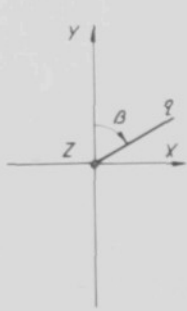
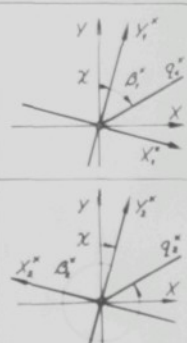
Obr. 36 Schema vzájemné polohy souřadnicových systémů - zvláštní případ pro $\chi = 0$

V obecném případě, kdy $\chi \neq 0$, jsou směry paprsků q_{β_x} rovnoběžný s se směrem paprsku q (který leží v soustavě navrstveného rouna), dány vůči hlavnímu směru příslušné soustavy úhly $\beta_{\beta_x}^x$.

Závislosti úhlů β , $\beta_{\beta_x}^x$ a χ plynou z tabulky na následující straně. Pro úhly β a $\beta_{\beta_x}^x$ platí:

$$\beta_1^x = \beta - \chi \quad (4.4/4a)$$

$$\beta_2^x = 2\pi - (\beta - \chi) \quad (4.4/4b)$$

SCHEMA VŠECH POLOH SOUŘ. SYSTÉMŮ PRO $\chi \neq 0$			
ZPŮSOB VRSTVENÍ	SOUSTAVA		
OZNAČENÍ	ÚHEL	NAVRSTVENÉHO ROUNA	VRSTVENÉHO ÚTVARU
1	θ		
2	π		

Obr. 37 Schema vzájemné polohy souřadnicových systémů – obecný případ

4.432 Výpočet orientace

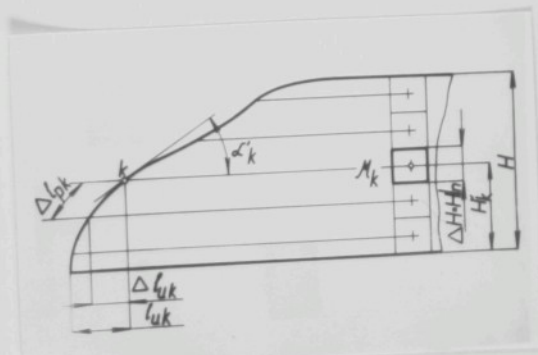
Ve srovnání s předchozím případem mohou mít při zkříženém vrstvení jednotlivé vrstvy různé úhly překřížení χ . Blížší označení hodnot α , β , γ bude tehdy provedeno obdobně indexy :

- α , který označuje druh vrstvených útvarů,
- μ , který označuje způsob kladení,
- χ , který označuje úhel překřížení.

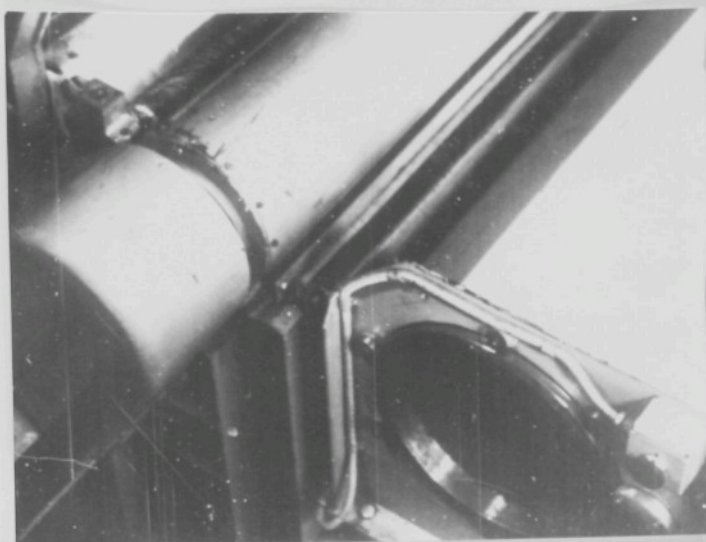
Poměr μ je vztaven jako v předchozím případě k jednomu druhu vrstveného útvaru, takže se vystačí s podobným značením jako u vztahu 4.4/1.



Obr. 38 Vrstevnatá struktura pneumaticky vyráběnýho rouna

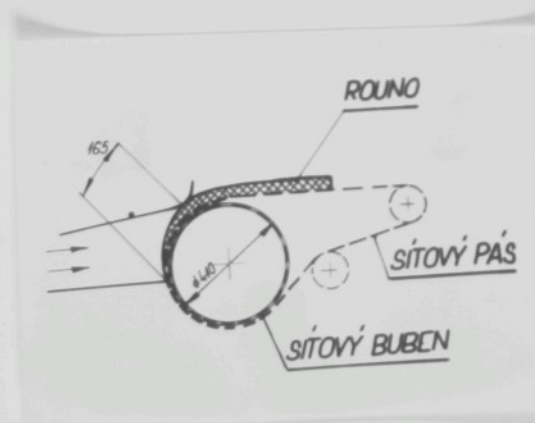


Obr. 39 Souvislost struktury vyráběného rouna se strukturou tvorící se části

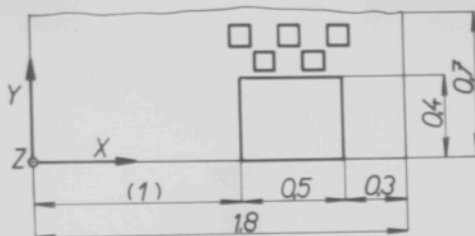


Obr. 40 Usazovací zařízení pneumatického rovnatvořícího stroje

Odváděcí rychlosť při výrobě byla $0,0167 \text{ m/s}$. Na tomto stroji je usazovací zařízení válcové a jeho hlavní rozměry jsou patrný z vyobrazení.

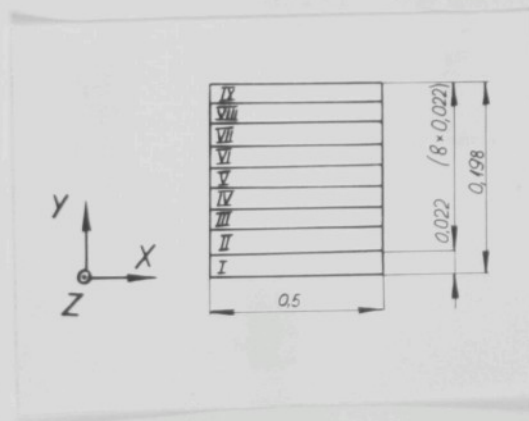


Obr. 41 Schema usazovacího zařízení stroje PNEUMAT

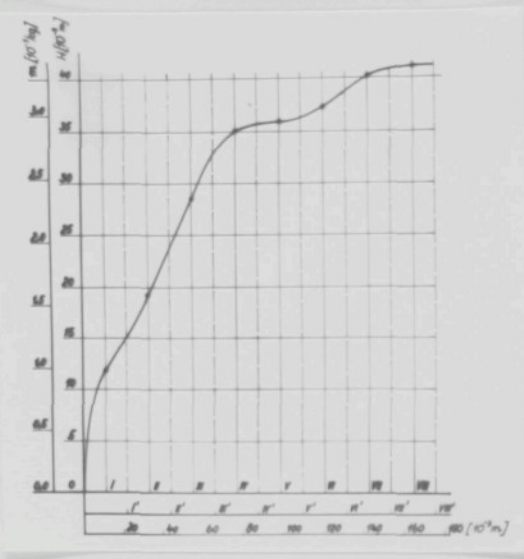


Obr. 42 Odběr vzorků

Takto upravené vzorky byly rozřezány na pruhy o rozměrech $(0,5 \times 0,022) \text{ m}$, takže plocha pruhů S_2 byla $0,011 \text{ m}^2$. Při řezání pruhů bylo postupováno ve směru Y a u každého vzorku bylo vyhotoveno devět pruhů číslovaných římskými číslicemi. Postup číslování byl souhlasný se smyslem souřadnice Y. Aby bylo dosaženo stejné šířky pruhů, bylo šablonou posunováno podél stupnice milimetrového papíru, nalepené na papírové podložce.



Obr. 43 Řezání pruhů



Obr. 44 Tvořící se část rouna

Aby mohl být zjištěn průměrný sklon vrstvy daného pruhu, byly interpolací zjištěny hmotnosti, které by příslušely místům usazovací podložky vzdáleným od počátku o celistvé násobky šířky pruhu. Interpolace je provedena v obr. 44, kde je vynesená i pomocná stupnice pro hmotnost m . Pro rozlišení jsou tyto (interpolované) hmotnosti značeny m' , kde index udává postupné číslo příslušného místa. Vzdálenosti středů jednotlivých pruhů jsou stejné jako příslušné posuvy usazovacího zařízení, takže

$$\Delta l_u = (22,0 \pm 0,7) \cdot 10^{-3} \text{ m}$$

Příslušné úhly sklonu povrchu tvořící se částí rouna jsou vypočteny ze vztahu

$$\text{tg} \alpha_l = \frac{m'_l - m'_l(l-1)}{S_2 \Delta l_u}$$

Hodnotě posuvu usazovacího zařízení Δl přísluší při dané rychlosti N doba výrobní periody

Tab. č. V

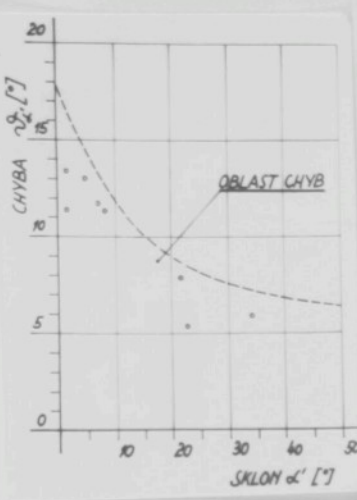
Výpočet sklonu povrchu tvorícího části rouna a charakteristického profilu

polo-	ozna-	Jednotka	Cílba střední výšky pro pruh e, %									
			I	II	III	IV	V	VI	VII	VIII	v jednotce kach	v %
1	2	3	4	5	6	7	8	9	10	11	12	13
1	m'_k	10^{-3} kg	1,24	2,01	2,74	2,98	3,03	3,24	3,40	3,45	0,18	9
2	$m'_{(k+1)}$	10^{-3} kg	0,00	1,24	2,01	2,74	2,98	3,03	3,24	3,40	0,11	9
3	Δm_k	10^{-3} kg	1,24	0,77	0,73	0,24	0,05	0,21	0,16	0,05	0,21	27
4	h_k	10^{-3} m	14,90	9,25	8,77	2,88	0,60	2,52	1,92	0,60	0,26	27,6
5	$Q_k S'$	10^{-3}kg/m^2	112,6	69,9	66,3	21,8	4,5	19,1	14,5	4,5	19	27,3
6	$\operatorname{tg} \alpha'$	1	0,8773	0,4205	0,2386	0,1309	0,0273	0,0145	0,0873	0,0273	max 0,5382	~
7	ϕ'_k	stupenů	34,1	22,8	21,7	7,4	1,6	6,6	5,6	1,6	5,3	~
8	h_{∞}	10^{-3} m	1,86	1,16	1,10	0,36	0,075	0,315	0,240	0,075	0,32	28
9	Q_S	10^{-3}kg/m^2	14,018	8,74	8,29	2,73	0,56	2,39	1,81	0,56	2,4	27,5

Tab. č. VI. Chyby v určení sklonu povrchu
tvořící se části rouna

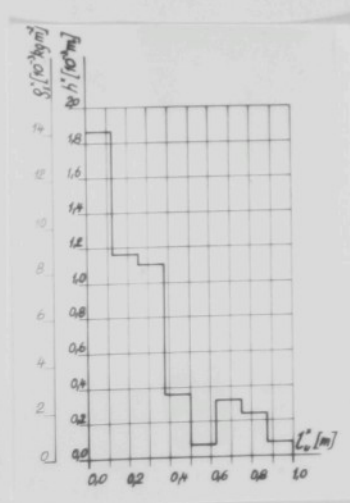
Pol.	Označení pruhu	Vypočtená hodnota		Chyba střední hodnoty
		\mathcal{L}	ϑ_2	
		stupeň	stupeň	
1	2	3	4	
1	I	34,1	6,4	
2	II	22,8	5,3	
3	III	21,7	7,8	
4	IV	7,4	11,3	
5	V	1,8	11,4	
6	VI	6,6	11,7	
7	VII	5,-	13	
8	VIII	1,6	13,4	

Z výpočtu velikosti chyby je patrné, že její abs. hodnota závisí (při jinak stejných podmínkách) na velikosti rozdílu hmotnosti dvou sousedních pruhů, tedy i na velikosti sklonu vrstvy. Vzájemná souvislost zjištovaných hodnot je vynešena graficky. Pro další použití je v tomtéž grafu vynošena i křivka omezující maximální předpokládanou velikost chyb.



Obr. 45 Chyba v určení sklonu povrchu tvořící se částí rouna

Z výsledků uvedených v tabulce VI je na dalším grafu vynešen charakteristický profil tvořící se částí rouna.



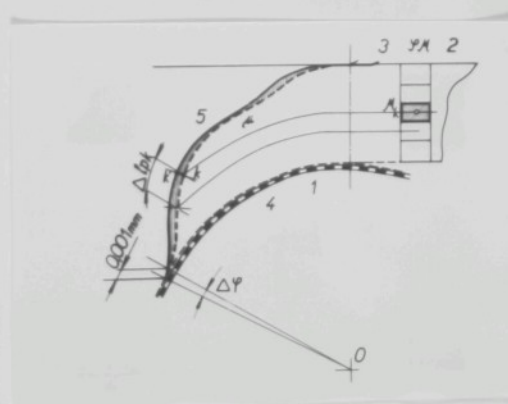
Obr. 46 Charakteristický profil

Výsledky jsou zatíženy velkou chybou zapříčiněnou nerovnoměrností rouna, projevující se v kolísání hmotnosti pruhů. Chyba se zvětšuje výpočtem přírůstku Δm_k , který se promítá do celého dalšího výpočtu.

Z výsledku vyplývá, že nestálost místaří charakteristické tloušťky vrstvy ukazuje na nestálost usazovacího procesu v rounotvořícím stroji.

5.112.6 Separace vrstvy

Stroj byl při plném provozu zastaven obdobně jako při odberu vzorku pro zjištění podélného profilu tvořící se části rouna. Usazovacím ústrojím 1 bylo pootečeno o úhel $\Delta\Phi$, odpovídající posunu rouna o 0,001 m. Část rouna 2, která byla již vytvořena, je překryta řídkým tylem 3 tak, aby tato podložka při spuštění stroje mohla dobré přilknout k povrchu tvořící se části rouna 4. Při přerušeném podávání a odvádění rouna se uvedl stroj do provozu a ručním počítáním podávacího ústrojí se podal vlákný materiál, který na podložce vytvořil vrstvu 5, odpovídající dodávce příslušné 0,001 m vyráběného rouna.



Obr. 47 Separace vrstvy rouna

Po dodání tohoto množství byl stroj zastaven a byla vyjmota podložka, na níž byla zachycena separovaná vrstva S_3 . Podložka byla rozvinuta na rovinnou pracovní plochu.^{x)}

5.12 Zjištění orientace

Separované vrstvy pneumaticky vyráběného rouna lze při lokálním posuzování přirovnat k pavučině, takže pro vyšetření orientace těchto vrstev možno použít týchž metod jako pro obdobné vyšetření pavučiny. Průhlednost obou útvarů umožňuje přímé pozorování vláken.

Pro vyšetření orientace těchto útvarů byla volena modifikovaná metoda Hearle-Stevensonova.

Tato volba je zdůvodněna tím, že metoda

- vychází z přímého vyhodnocení směrů úseků vláken, které je nutně přesnější než vyhodnocení konvenčně stanovených směrů vláken (jako celků),
- je prakticky ^{xx)} nezávislá na fyz. mechanických vlastnostech vlákenné hmoty proto, že vyhodnocuje jen geometrické prvky, kterými je struktura určována,
- byla používána četnými autory zpracovávajícími problematiku netkaných textilií.

Poznámka : x) Přepočty pro zakřivené usazovací zařízení není třeba provádět proto, že rozdíly oproti rovinnému usazovacímu zařízení jsou v mezdách chyb.

xx) Při vyšetřování vláken o zvlášť velkém průměru mohou nastat nepřesnosti v určení směru osy úseku vlákna.

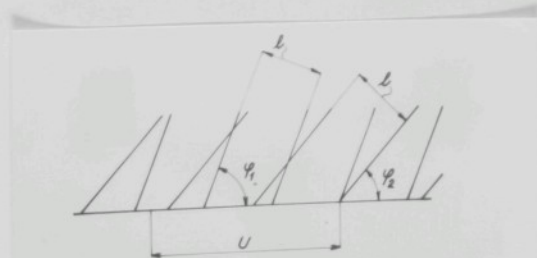
Naopak již z literárních pramenů - s logickým rozbořením problematiky - vyplývají i určité nepřesnosti vlastní metody. Je to zejména skutečnost, že při přípravě mikroskopického preparátu dochází nutně k deformaci vzorku textilie, a tedy i k modifikaci původní orientace. Mikroskopickým pozorováním prakticky dochází k projekci preparátu, takže se jedná o vyšetření plošné orientace. Vznikající zkreslení skutečnosti jsou tím menší, čím více roste míra plošného rozložení vláken, takže z tohoto hlediska je metoda dobré použitelná pro vyšetřování pavučin nebo obdobných textilních útvarů.

5.121 Modifikovaní metoda Hearle-Stevensonova

Původní metoda je popsána v literární rešerši.

Pro tuto práci byla metoda nepodstatně modifikována proto, aby bylo možno dokumentovat dosažené výsledky a současně aby bylo možno těchž mikrosnímků použít pro další srovnání. Vlastní (dále podrobně popsaná) modifikace metody spočívá v tom, že jsou určovány směry úseků všech vláken protínajících obvod neuzavřeného čtverce. Tím se dosáhne toho, že

- úseky vláken jsou vyšetřovány dle určitého systému a je zamezeno, aby výběrem vláken mohl být některý ze směrů zvýhodňován.



Obr. 48 Zvýhodnění směru vlákenných sítí

Z obr. 48 je patrné, že pro nejjednodušší případ, kdy se jedná o soustavu dvou stejných vlákenných sítí protínajících úsečku U, je zvýhodněn směr φ_1 před směrem φ_2 . Zatížením úseků vláken (daných průsečíky sítí s úsečkou U) totiž plyně, že $0_{\varphi_1} > 0_{\varphi_2}$, což zřejmě neodpovídá skutečnosti.

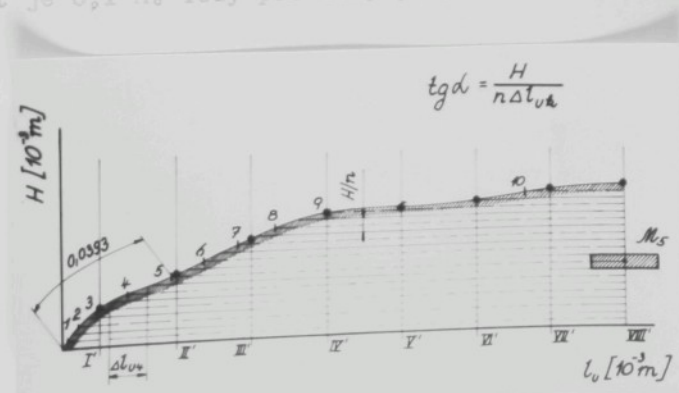
- jsou vyšetřovány četnosti směrů úseků vláken po obvodě (téměř uzavřeného) obrazce, takže možno předpokládat, že i uspořádání vláken v ohrazené ploše je charakterizováno tímto měřením.

5.121.1 Předpiny zkoušky

Ke zkoušce bylo použito strojní zařízení a materiál za podmínek popsaných v odstavci 5.112.1.

5.121.2 Odběr a úprava vzorků

Lokální orientace vláken byla vyšetřována v souboru 10 míst, takže tloušťka rouna ΔH příslušející každému z těchto míst je $0,1 \text{ H}$. Tedy pro daný případ $\Delta H = 4,15 \cdot 10^{-3} \text{ m}$.



Obr. 49 Určení polohy vzorků

Odměřením vzdáleností Δl_{pk} na vyobrazení povrchu tvořící se části rouna byla zjištěna teoretická poloha bodů k odpovídajících těžištim jednotlivých míst souboru.

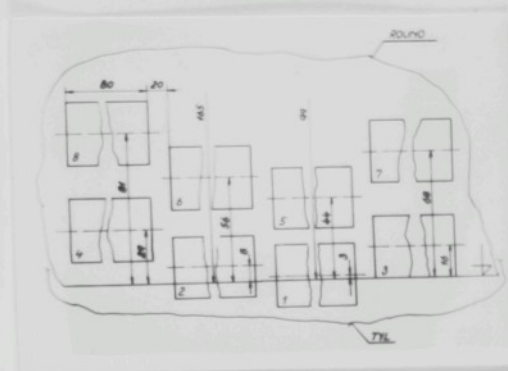
Pro snížení chyby, vznikající neshodou skutečné délky rozvinutého povrchu tvořící se části rouna a délky zjištěné odměřením, byl proveden přepočet teoreticky zjištěných vzdáleností bodů k od počátku.

Za skutečnou délku rozvinuté části tvořícího se povrchu rouna byla vzata délka tylové podložky, na které byla usazena vlnkna ($0,198$ m). Přepočítávané hodnoty byly zaokrouhleny na 10^{-3} m.

Tab. č. VII. Přepočet vzdáleností míst

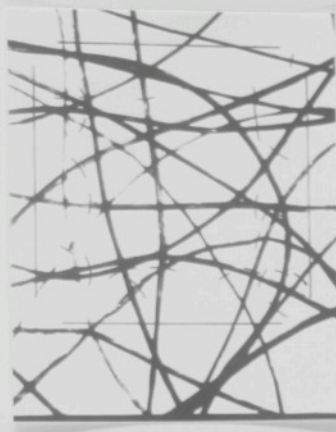
Pol.	Místo	Teoret. hodnota		Výpočtová hodnota vzdálenost od počátku 10^{-3} m
		vzájemná vzdálenost	vzdálenost od počátku	
		10^{-3} m	10^{-3} m	
1	2	3	4	5
1	1	(2,5)	2,5	3
2	2	5,0	7,5	8
3	3	7,1	14,6	16
4	4	11,2	25,8	29
5	5	13,5	33,5	44
6	6	10,7	50,0	56
7	7	11,0	61,0	68
8	8	11,0	72,0	81
9	9	16,2	88,2	99
10	10	59,5	147,7	165
11	-	(29)	176,7	198
12	Součet	176,70	-	-

Aby mohly být dodrženy výpočtové vzdálenosti, bylo nutno odebrat vzorky rozsazené ve 4 řadách.



Obr. 50 Schema odběru vzorků

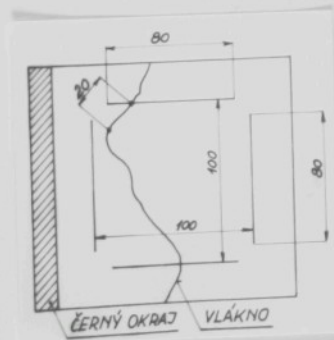
Vlastní odběr vzorků byl prováděn tak, že nosní textilie (tyl) se separovanou vrstvou byla položena na šablonu s nákresem rozsazených odebíraných vzorků. Na okraje sklíček, které měly tvořit horní příkrov preparitu, byla z lícné strany nalepena samolepící páiska tak, aby její část o šířce cca 5 mm přesahovala přes sklíčka. V místech, určených šablonou pro odběr vzorků, byla položena na vrstvu sklíčka tak, že samolepící páiska svými volnými okraji mohla fixovat polohu vrstvy vůči sklíčku. Nůžkami byly (i se šablonou a podložným tylem) obstarány vzorky v těsné blízkosti lepící pásky a pinzetou byly sejmuty zbytky šablony a podložného tylu. Vzorek byl pak doplněn druhým sklíčkem, stržena samolepící páiska (při přitlačení obou sklíček na sebe), obstarán na formát sklíčka a zlepěn. Značena byla lícní strana a hlavní směr. Z každého vzorku bylo pořízeno po 10 mikrosnímcích při celkové binárném (lineárním) zvětšení. Snímky byly pořízeny ve střední části vzorku a bylo dbáno na to, aby orientace mikrosnímků souhlasila s orientací vzorků. Černý pruh na straně mikrosnímků označuje směr X.



Obr. 51 Mikrosnímek upravený k vyhodnocení

5.1.1.3 Vyhodnocení

Pro objektivní zjištění směrů úseků vláken byly na každém mikrosnímku nakresleny 2 páry úseček o délce 0,08 m tak, že každý pár úseček je vzájemně rovnoběžný a úsečky prvého páru jsou kolmé na úsečky páru druhého. Při vzdálosti vzájemně rovnoběžných úseček 0,1 m pak vznikne neúplně ohrazený čtverec.



Obr. 52 Schema zjišťování směrů úseků vláken

Zá úsek vlákna je považována úsečka délky 0,02 m. Úsek vlákna má (po 9inásobném lineárním zvětšení) délku 0,02 m, jen v tom případě, jedná-li se o úsek přímý. Přesně vzato jsou tedy úseky vláken (po 9inásobném zvětšení) rovny, nebo delší než 0,02 m, takže pro skutečnou délku platí $\ell \geq 0,213 \cdot 10^{-3} \text{ m.}$ x)

V místech zvětšeniny, kde vlákna protínají obrys neuzavřeného čtverce, byla na vlákna (směrem dovnitř obrazce) vyňášena délka 0,02 m, a tím byl ohrazen konvenčně stanovený úsek vlákna. Směry těchto úseků vláken byly proměřovány na rýsovacím přístroji KINEX a zatřídovány do úhlových intervalů o velikosti 30° .

Takto získané výsledky byly shrnutы do dílkých tabulek pro jednotlivé vzorky. Jako příklad je uvedena tabulka pro vzorek 6 serie PN-HS (Zde značí : PN - pneumat. způsobem vyráběné rouno ; HS - způsob vyšetřování Hearle-Stevensonovou /modifikovanou/ metodou).

Poznámka : x) Je zřejmé, že při zmenšování konvenčně stanovené délky úseků by se dosáhlo lepší shody se skutečnou délkou zvětšeného úseku vlákna. Současně však nutno vzít v úvahu, že by nutně vznikaly nepřesnosti při prokládání paprsku určujícího směr úseku vlákna.

Tab. č. VIII. Zatřídění směrů úseků vláken
(PN - HS)

Pol.	Číslo měření vzorku PN-H-6	Označení úhlového intervalu						Celkem
		-60°	-30°	0°	+30°	+60°	+90°	
		Počet zatříděných úseků vláken /1/						
1	2	3	4	5	6	7	8	9
1	I	8	3	2	5	7	8	33
2	II	5	7	8	3	6	10	39
3	III	10	7	3	2	8	5	35
4	IV	11	6	4	7	5	6	39
5	V	6	2	5	8	5	8	34
6	VI	10	11	1	4	13	12	51
7	VII	6	8	8	8	10	9	49
8	VIII	12	12	3	7	16	8	58
9	IX	10	9	4	12	5	7	47
10	X	6	10	6	10	6	7	45
11	Celkem	84	75	44	66	81	80	430
12	$\bar{M} / \%$	19,5	17,4	10,2	15,5	18,1	18,6	100,-

V pol. 12 předchozí tabulky je provedeno vyhodnocení orientace θ' , která je pro každý interval vyjádřena procentem zatříděných úseků vláken z jejich celkového počtu. Vypočtené hodnoty jsou zaokrouhleny na desetiny procenta.

Obdobně byly zatříděny směry úseků vláken ze všech deseti vzorků (PN 1 až PN 10) a výsledné hodnoty odpovídající položkám 11 a 12 předchozí tabulky jsou sestaveny do následující tabulky, která dává přehled o plošné orientaci jednotlivých vrstev rouna.

Tab. Č. IX.

Souborn měření plošné orientace
(PN → HS)

Poř.	Vzorek	-60°		-30°		0°		+30°		+60°		+90°		Celkem	
		φ	θ	φ	θ	φ	θ	φ	θ	φ	θ	φ	θ		
1	PN-H-1	73	24,4	44	14,7	41	13,7	43	14,3	53	17,7	46	15,3	300	
2	PN-H-2	53	20,5	45	17,4	34	13,2	23	18,9	55	21,4	48	18,6	258	
3	PN-H-3	49	15,4	55	17,3	49	15,5	51	16,1	56	17,7	57	18,7	317	
4	PN-H-4	76	17,0	64	14,3	65	14,5	74	16,5	91	20,3	78	17,4	448	
5	PN-H-5	72	17,5	54	13,1	62	15,0	61	14,8	84	20,4	79	19,2	422	
6	PN-H-6	84	19,5	75	17,4	44	10,2	66	15,5	81	18,8	80	18,6	430	
7	PN-H-7	80	21,5	79	21,3	43	11,8	59	15,9	50	13,5	60	16,2	371	
8	PN-H-8	92	19,4	74	15,0	70	14,8	78	16,5	94	19,8	66	13,9	474	
9	PN-H-9	59	13,7	81	18,8	63	14,6	65	15,1	92	21,3	71	16,5	431	
10	PN-H-10	82	18,5	80	18,1	62	14	75	17,9	90	20,4	53	12,9	442	
11	Celkem													3893	
	Úsek 1 /	720	—	651	—	533	—	515	—	746	—	638	—		
12	Přůměr /%	—	18,5	—	16,8	—	13,7	—	15,4	—	19,2	—	16,4	—	109

Chyba měření

Výsledky měření orientace jsou zatíženy chybou, jejíž velikost lze odhadnout jen částečně. V další části práce je učiněn pokus o zjištění

- chyby vznikající pootečením hlavního směru vrstvy vůči hlavnímu směru určenému delší hrancou preparátu,
- chyby vzniklé statistickým charakterem měřené veličiny.

Chyby v určení hlavního směru

Přibližnou velikost této chyby lze stanovit na modelovém materiálu tím, že jsou zjišťovány odchylky mezi skutečným směrem S vyznačeným na preparátu a směrem S' , který by měl při vyhodnocování odpovídat.

Jako modelový materiál byl použit plénkový muls. Na pracovní stůl byl položen podložný tyl, který byl překryt mulem. Kuličkovou propisovací tužkou byly na mulu nakresleny (ve směru útku) 2 rovnoběžky vzdálené 0,08 m, které představují směr S . Na šabloně byly nakresleny 2 rovnoběžky vzájemně vzdálené 0,07 m.

Podložený tyl s mulem byl přenesen na stůl se šablonou tak, aby jedna z rovnoběžek vyznačených na mulu splývala s rovnoběžkou šablony. Dále bylo postupováno podobně jako při přípravě skutečného preparátu, jenže s tím rozdílem, že sklíčka byla kladena tak, aby jejich hrana splývala s druhou rovnoběžkou šablony, a aby místem určeným pro zhotovení preparátu procházela přímka vyznačená na mulu. Pro každý z 10 zhotovených preparátů byl tento postup opakován. Vyhodnocování bylo provedeno na zvětšovacím fotografickém přístroji. Preparát byl přisazen (na doraz) ke hraně pro vedení filmu a promítнут na maskovací zařízení

zení. Poloha maskovacího zařízení byla seřízena (projekcí 0,01 m širokého plechového pásku) tak, aby podélná hrana maskovacího přístroje byla rovnoběžná s hranou vedenou filmu.

Projekcí preparátu (při cca 8,67násobném lineárním zvětšení) byl zjištován skutečný směr vyznačený na mulu přímkou. Tento směr byl určen dvěma body na mulu vyznačené přímky, které ležely v okrajových částech promítaného obrazu.

Tyto body spolu s obrysem podélné hrany maskovacího zařízení byly značeny na vloženém papíře a z jejich polohy byla vypočtena odchylka obou směrů.

Statistickým vyhodnocením vyšel rozdíl skutečného a měřeného hlavního směru $-0,04^{\circ}$ s chybou $\pm 1,71^{\circ}$.

Popisované kontrolní měření je orientační a částečně vystihuje jen fázi přípravy preparátu. Rovněž i práce s modelovým materiélem není přímo srovnatelná se skutečnými pracovními podmínkami.

Z těchto důvodů nutno předpokládat, že velikost skutečně vznikající chyby bude jiná než zjištěná hodnota.

Pro zvětšenou jistotu výsledku bylo při vyhodnocení počítáno s chybou přibližně dvojnásobnou ($\pm 3^{\circ}$) a střední hodnota ($-0,04^{\circ}$) byla zanedbána.

Chyba četnosti zatříděných směrů

Z tabulky IX je patrné, že jednotlivé hodnoty zatřídění mají poměrně velký rozptyl. Pro posouzení kolísání naměřených hodnot kol střední hodnoty byly výsledky jednotlivých měření vyjádřeny v procentech příslušného aritmetického průměru.

Tab. č. XI. Hlavní statistické charakteristiky
četnosti úseků vláken (PN - HS)

Poř.	Název	Označení	Četnost úseků vláken	
			září- dění do ohlo- vých inter- valů	celko- vý po- čet září- děných úseků
1	2	3	4	5
1	Aritmetický průměr	\bar{x}	10 _± =	10 _±
2	Směrodatná odchylka	s	4,1	1,71
3	Chyba jednoho měře- ní při pravděpodob- nosti 95,45 %	δ_{rel}	88 %	34,2 %

Chyba ve stanovení hodnoty orientace φ^* musí tedy zahrno-
vat jak chybu charakterizovanou ve sloupci 4, tak i ve
sloupci 5, což vyplývá i z definičního vztahu.

Pro relativní chybu výsledku pak platí

$$\delta_{\text{rel}} = \sqrt{\delta_{\text{rel}1}^2 + \delta_{\text{rel}2}^2}$$

Dosazením z předchozí tabulky plynou

$$\delta_{\text{rel}} = \sqrt{88^2 + 34,2^2}$$

$$\delta_{\text{rel}} = 94,4 \%$$

Chyba aritmetického průměru $\varphi_{\text{rel}1}$ pro n měření vypočte-
na dle vztahu

$$\varphi_{\text{rel}1} = \frac{\delta_{\text{rel}1}}{\sqrt{n}}$$

$$\varphi_{\text{rel}1} = 29,8 \%$$

Celkem je proměřováno ve 100 měřených 3883 úseků vláken, takže na 10 měření připadá v průměru přibližně 390 úseků vláken.

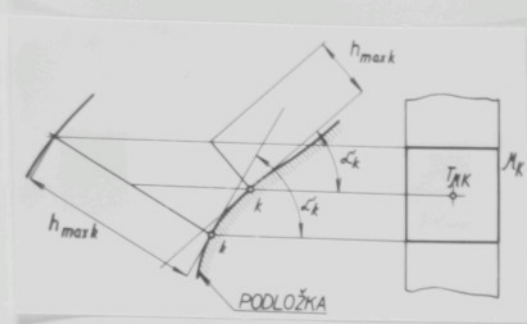
5.13 Vyhodnocení struktury rouna

Výsledky vyhodnocení plošné orientace uvedené v tab. VIII předchozího textu se vztahují k plochám, jejichž sklon k určovací rovině je dán úhlem α' příslušným sklonu povrchu odpovídající části tvořícího se rouna. Proto je nutno k těmto výsledkům přiřadit příslušný sklon vrstvy.

Při dřívějším zjištování charakteristického profilu byl stanoven sklon vrstev rouna v místech, která odpovídají těžším pruhům. Těmto místům přísluší zetové souřadnice však neodpovídají zetovým souřadnicím místa M_2 . Proto je nutno provést zpětnou grafickou konstrukci, která je vyznačena na dříve uvedeném obr. 49.

Z tohoto grafického znázornění byly rovněž vzaty hodnoty pro výpočet sklonu vrstev v místech M_2 , čímž je lépe charakterizován průměrný sklon příslušný tomuto místu.

Sklon vrstvy v oblasti tloušťky $\frac{H}{n}$, která přísluší místu M_2 , je proměnný. Proto je definován sklon příslušející střední oblasti skutečného vzorku jako průměrná hodnota sklonů vrstev ležících podél celé tloušťky vzorku. Pro jednoduchost je za tento (průměrný sklon) považován úhel, jehož tangenta je dána poměrem tloušťky vzorku ($\frac{H}{n}$) k délce usazovací podložky (Δl_{u2}) příslušné této tloušťce. Hodnoty pro výpočet takto definovaného sklonu příslušejícího daným místům M_2 jsou uvedeny v následující tabulce a byly získány odečtem z obr. 49.



Obr. 53 Souvislost mezi tloušťkou separované vrstvy a tloušťkou příslušnou místu

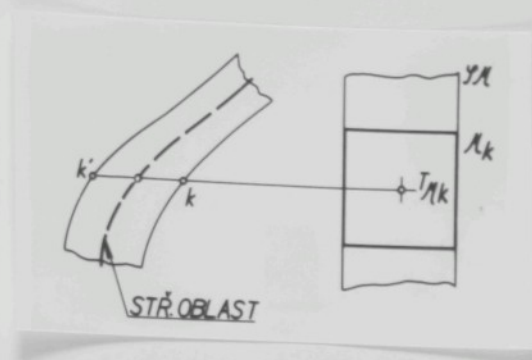
Z názoru je patrné, že tloušťce $\triangle H$ vyšetřovaného místa odpovídá tloušťka separované vrstvy $h_{\max k}$, pro niž platí

$$h_{\max k} = \frac{H}{n \cos \alpha'_k}.$$

Tuto podmínu však není možno dodržet, takže je voleno kompromisní řešení, popsané v předchozí části. V tomto případě těžištěm místa M_k odpovídají body k separované vrstvě, takže není možno vyšetřit strukturu v celém rozsahu tloušťky odpovídajícího místa. Aby údaje o struktuře nebyly zkresleny přílišnou místní tloušťkou separované vrstvy, je nutno, aby v tomto praktickém případě odpovídala místní tloušťka separované vrstvy $h_{\max k}$ vztahu

$$h_{\max k} = \frac{H}{2 n \cos \alpha'_k}$$

Určení odpovídajících míst dle dříve uváděného postupu není tedy zcela správné a místa by měla být volena buď tak, aby byla dodržena podmínka $h_{\max k} = H/n \cos \alpha'_k$, nebo aby slespoň těžištěm místa M_k odpovídala střední oblast vyšetřované separované vrstvy.



Obr. 54 Souvislost mezi polohou těžiště vyšetřovaného místa a střední oblastí separované vrstvy

Vzhledem k různé tloušťce separované vrstvy je však i tento druhý požadavek těžce splnitelný.

Přesto, že nebylo pozorováno, že by měla vazba podložné textilie vliv na orientaci vláken, nutno s tímto faktorem počítat (zvláště při vyšetřování roun s vlákny o vyšší jemnosti). Nepřesnosti mohou být ovlivněny i změnou podmínek zkoušky vůči podmínkám výrobním. Tyto změny mohou být zapříčiněny tím, že

- odpor proudění byl zvětšen vložením podložky,
- priváděcí a odváděcí rychlosti nelze přesně dodržet,
- v jednotce nosného media není na počátku a konci usazování separované vrstvy obsaženo konstantní množství vlákkenného materiilu,
- poloha vláken, ležících na povrchu separované vrstvy, není fixována dalšími usazujícími se vlákny, takže je možnost eventuálního přeskupování vláken, zvláště při doběhu stroje,
- provoz stroje není kontinuální.

Není známo, jak dalece mohou tyto faktory ovlivnit výsledek měření. Nutno však konstatovat, že aplikovaná metoda dává možnost vyšetření struktury těch oblastí rouna, které nelze přímo pozorovat, a pro něž jsou nepoužitelné

známé metody zjišťování polohy vláken.

5.2 Vyšetření plošné orientace

Z předchozí části experimentální práce vyplývá, že modifikovaná Hearle-Stevensonova metoda pro vyšetřování plošné orientace je pracná, a mimoře zatížená i poměrně velkou chybou.

Další práci bylo tedy nutno zaměřit nejen na nalezení jednodušší, ale i přesnější metody, se současným srovnáním dosažených výsledků měření.

Základ k další práci tvoří dříve popisované měření orientace modifikovanou Hearle-Stevensonovou metodou. Tato měření byla doplněna a pro další práci zvoleny metody, které jsou nenáročné na přístrojové vybavení a u nichž lze předpokládat možnost mechanizace nebo automatizace. Jsou to :

- Metoda založená na mikroskopickém zjišťování počtu průsečíků vláken pozorovaného útvaru se svazkem paprsků. Tato metoda bude dále nazývána metodou průsečíkovou.
- Metoda využívající k vyhodnocení hmotnost třísně zbylé v přístroji po vyčesání vláken, které nejsou přidržovány kleštinami. Tato metoda bude dále nazývána gravimetrickou.

V těch případech, kdy vlastnosti zkoušeného materiálu připouštějí pozorování všech vláken preparátu, je použito k vyšetření modifikované Hearle-Stevensonovy metody a metody průsečíkové. Jak je patrno z tab. č. XIV a z tab. č. XV, jedná se zde o separované vrstvy pneumatickým způsobem vyráběného rouna (RN) a o payučinu mykacího stroje (MYP). Pro vyšetření těchto materiálů je gravimetrická metoda nevhodná.

Naopak materiál (MYR), jehož velká plošná hmotnost nedovolila přímé mikroskopické pozorování všech vláken, byl vyšetřován pomocí gravimetrické metody a srovnání s výsledky měření Hearle-Stevensonovou a průsečíkovou metodou bylo provedeno přepočtem hodnot zjištěných u materiálů MYP, z nichž bylo navrstveno rouno MYR.

Tab. č. XIV. Přehled použitých druhů materiálů

Poř.	Druh	Způsob výroby	označení
			1 2 3 4
1	Separovaná vrstva rouna	Vyrobeno na pneumatickém rounotvářícím stroji z visk. přez. (Bližší popis v textu 5.112.1)	PN
2	Pavučina myk. stroje	Vyrobeno na myk. stroji Atlas-Muk typ 1609. Směs 70 % PVA a 30 % PoPs vláken (Bližší popis v textu 5.21.1)	MYP
3	Rouno z horizontálního vrstvívacího zařízení	Vyrobeno z pavučin MYP na horizontálním vrstvívacím zařízení Autefa (Bližší popis v textu 5.23.1)	MYR

Tab. č. XV. Program měření

Poř.	Zkušební metoda		Druh zkoušeného materiálu
	text	označení	
1	2	3	4
1	Modifikovaná Hearle-Stevensonova	HS	PN, MYP
2	Frůsečková	PA	PN, MYP
3	Gravimetrická	GA	MYR

5.21 Modifikovaná Hearle-Stevensonova metoda

Popis modifikované Hearle-Stevensonovy metody je uveden v odstavci 5.121 této práce.

5.21.1 Podmínky zkoušky

Pro vyšetření orientace úseků vláken toto metodu byly použity vzorky vrstvy pneumatický vyráběného rouna označené PN, a vzorky pavučiny myk. stroje označené MYP.

Vzorky ze řad označených PN jsou popsány - co do materiálového složení, způsobu odběru a podmínek výroby - v odstavci 5.112.1 a 5.121.2.

Vzorky ze řad označených MYP

Tyto vzorky jsou vytvořeny z pavučiny myk. stroje, vyrobené za těchto podmínek :

- Druh vlák. směsi : 70 % polyvinylalkoholové vlákn
Curalon (PVA), 1,4 den., 0,04 m,
30 % polypropylenové vlákno sráživ.
(PoPs) 1,2 den., 0,038 m.
Směs připravena čechráním na myk.
čechradle MORGNER a lůžkováním.
- Výrobní zařízení : Válcový mykací stroj jednobubnový
(hlavní údaje) s předmykadlem, výrobce Atlas-Mak,
Werk Spinnbau, typ stroje 1609, pracovní šíře 2000 mm, stroj opatřen
zařízením pro potlačení výrazně jedno-
směrné orientace vláken.
- Hlavní technolog. parametry : Výroba pavučiny byla pro-
vedena při seřízení stroje dle technolog. předpisu výzk. úkolu PKM ze
září 1970.



Obr. 55 Mikrosnímek upravený k vyhodnocení počtu průsečíků

Zjištěné počty průsečíků P s jednotlivými úsečkami svazku byly vyjádřeny v procentech celkového počtu průsečíků ΣP zjištěných pro všech 6 úseček daného svazku. Tato poměrná četnost průsečíků $P_A \%$ je dána vztahem

$$P_A \% = \frac{P}{\Sigma P} \cdot 100$$

Příkladné vyhodnocení je provedeno pro vzorek č. PN6.

Chyba měření

Obdobně jako při zjišťování orientace Hearle-Stevensonovou metodou, vzniká i zde chyba v určení hlavního směru a chyba zapříčiněná statistickým charakterem měřené veličiny.

Chyba v určení hlavního směru má v podstatě stejně příčiny jako u modifikované Hearle-Stevensonovy metody. Je tedy možno převzít její velikost i pro sledovaný případ. Chyba střední hodnoty odchylky od hlavního směru je ± 3 stupně.

Chyba četnosti zatříděných průsečíků byla posuzována tak,

Tab. č. XXI.

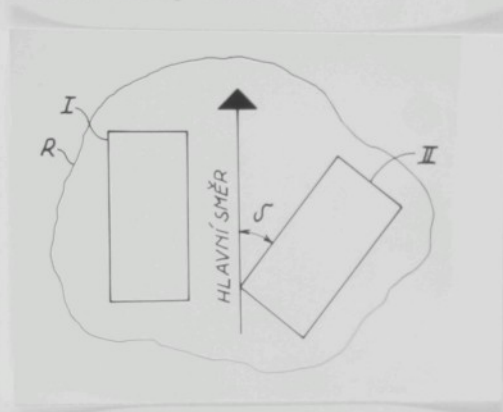
Kolísání četnosti zatříďených
průsečíků vzhledem k průměrné
hodnotě (PN = PA)

Pol.	Měření vzorku PN=PA6	Označení směru paprsku						Celkem
		-60°	-30°	0°	30°	60°	90°	
		/ % /						
1	2	3	4	5	6	7	8	9
1	I	7,3	8,2	8,5	7,5	6,-	8,5	7,7
2	II	9,6	8,8	9,1	8,2	11,2	9,9	9,4
3	III	6,6	7,5	10,5	8,7	8,2	7,1	8,2
4	IV	10,3	6,8	9,8	11,6	11,4	11,3	10,-
5	V	9,6	8,8	7,8	8,7	8,2	7,1	8,4
6	VI	11,-	10,2	12,4	11,6	9,7	7,1	10,4
7	VII	11,8	12,9	10,5	7,5	9,7	10,7	10,5
8	VIII	10,3	11,6	11,1	12,3	10,3	11,3	11,2
9	IX	11,-	12,3	9,8	11,8	11,2	12,1	11,3
10	X	12,5	12,9	10,5	12,3	14,9	14,9	12,9
11	Součet	100	100	100	100	100	100	100

V následující tabulce jsou uvedeny hlavní statistické charakteristiky pro oba druhy materiálů vypočtené stejnou metodikou jako v kapitole 5.121.3.

která nebyla zachycena kleštinami, přidržujícími textilní útvar. Známé metody sledují hmotnost třásně tvořené všemi vlákny procházejícími průřezem určeným okrajem kleštin. Je tedy nutné, aby zkoušený textilní útvar neměl plošný charakter.

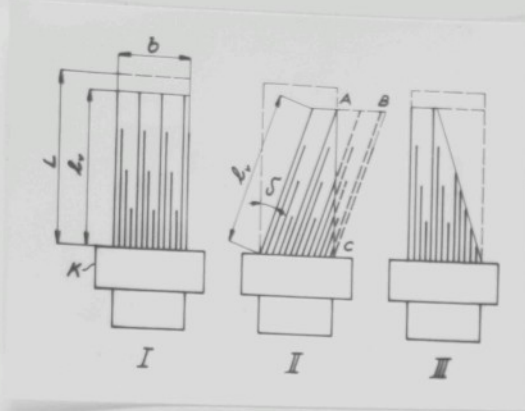
V případě, že k takovým zkouškám má být použito rouno, je nutno vysekat vzorky (I, II), jejichž podélná osa svírá s hlavním směrem známý úhel γ .



Obr. 56 Vysekávání vzorků pro obvyklá měření gravimetrickými metodami

Výsledky měření jsou však zatíženy poměrně velkou a prakticky neodhadnutelnou chybou metody. Při vysekávání je totiž nutně narušen systém vláken, takže jsou vyčesávána i vlíkna, která by do měření měla být pojata.

Bližší vysvětlení je patrné z následujícího schematického obrázku, na němž je znázorněna třásně vyčesaná z (hypotetického) rouna sestávajícího z přímých, vzájemně rovnoběžných a rovnoměrně rozložených vláken. V pozici I je směr vláken souhlasný se směrem delší strany vzorku, takže po vyčesání vláken, která nejsou svírána kleštinami k, dosáhne délka třásně (prakticky) délky vláken ℓ , ve všech



Obr. 57 Zmenšení třásně vysekáváním vzorků

případech, kdy délka vyčesávané části vzorku L je větší než ℓ_v .

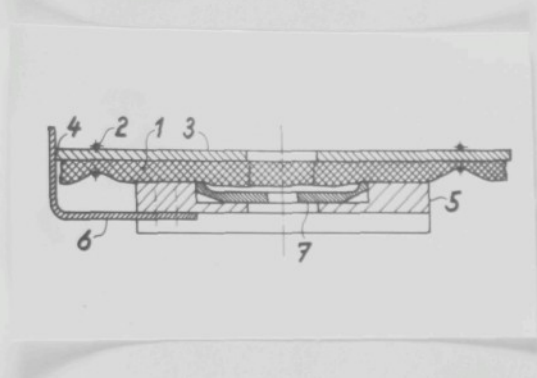
V případě, že směr delší strany vzorku (pozice II) se odchyluje od směru vláken o úhel β , je při vysekívání vzorku současně odseknuta část vláken svíraných kleštinami, která leží v ploše trojúhelníka A, B, C.

V pozici III je znázorněna třásení po vyčesání a napřímení vláken do polohy kolmé ke hraně kleštin.

Toto zkreslení výsledků je závislé nejenom na délce vláken (ℓ_v), šířce vzorku (b), ale i na velikosti úhlu (β). Při vyšetřování skutečného rouna se zakřivenými, různě položenými a různě dlouhými vlákny pak vzájemně nesouhlasí výsledky měření roun, i když lokální orientace vláken je stejná.

Navržená modifikace gravimetrické metody

K vyloučení tohoto nežádoucího zjevu byla navržena ^{odzkou-} řena modifikace gravimetrické metody, při níž se používá k přípravě třásně přístroje zkonstruovaného autorem (Typové označení přístroje je OR).



Obr. 58 Schema přístroje OR

Přístroj i s upnutým vzorkem rouna se sejmě se stolu a pomocí ocelového kartičku se vyčesívají vlákna, která nejsou kleštinami zachycena. Práce se dokončuje prepařní jehlou. Poté se vlákna v místech rysek rozhrnou a z třásní na každé hraně talíře se odřízně délka 0,05 m.

Odříznuté třásně se váží s přesností na 10^{-7} kg a jejich hmotnosti G' se použije k vyhodnocení.
Skutečné provedení přístroje OR je patrno z obrázku 59.



Obr. 59 Přístroj OR

5.23.1 Podmínky zkoušky

K vyhodnocení orientace bylo použito rouno MYR vyrobené vrstvením pavučin MYP na horizontálním vrstvícím zařízení AUTEFA.

Parametry charakterizující vrstvení :

plošná hmotnost pavučiny	0,0102 kg/m ²
šíře pavučiny	1,950 m
plošná hmotnost rouna	0,329 kg/m ²
šíře rouna	1,900 m
druh vrstvení	zkřížené

Výpočtem plyně, že počet vrstev pavučiny n_p v rovně je

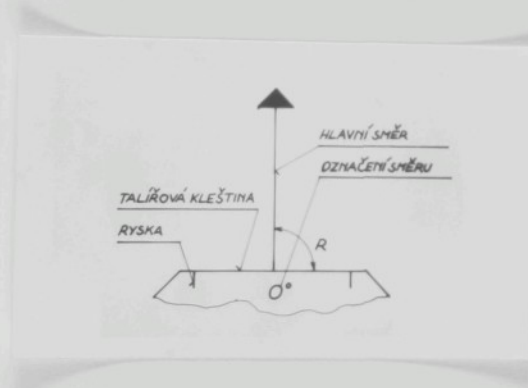
$$n_p = \frac{329}{10,2} \approx 32$$

stroje a vzorku rouna. Nitě byly po přestřílení vytaženy a sbranutí rouna bylo zabráněno mýrným přitlačením vzorku k pracovnímu stolu přístroje. Po sejmání lepenkové desky byl vystrílen otvor pro šroub, vzorek překryt horní talířovou kleštinou a dotažením vloženého šroubu byla poloha rouna v talířových kleštinách fixována.

Další postup byl popsán v předchozím textu.

5.23.3 Vyhodnocení

Hmotnosti (odříznuté trásně (příslušející její šíři 0,05 m) byly přiřazeny rovinovým směrům kolmým na hranu kleštin,



Obr. 60 Označení směru

Po předchozím klimatizování byly trásně váženy s přesností 10^{-7} kg. Výsledky jsou uvedeny v tab. XXXIII na následující straně.

Při vyšetřování směrů úseků vláken v ploše dostačuje pro určení lokální orientace vyšetření v rozmezí 180° , takže výsledky měření hodnot přímo charakterizujících orientaci vláken by si měly pro směry β a $\beta \pm 180^\circ$ odpovídат. Z tabulky XXXIII je patrné, že tomu tak není. Příčina notkív

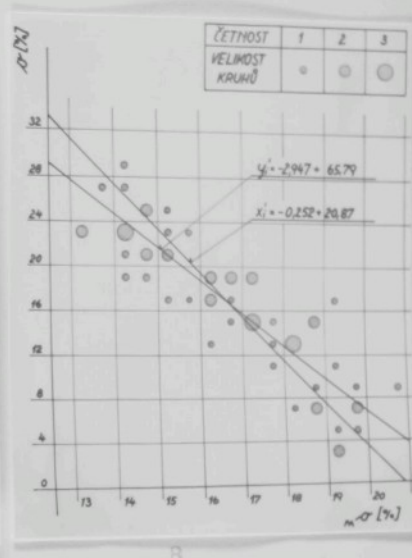
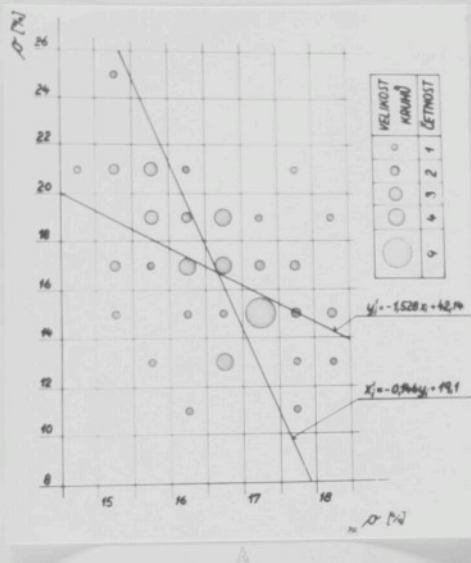
x_i	y_i	x_i^2	$x_i y_i$	x_i^3	$x_i^2 y_i$	x_i^4	$x_i^3 y_i$	x_i^5	$x_i^4 y_i$	x_i^6	$x_i^5 y_i$	x_i^7	$x_i^6 y_i$	x_i^8	$x_i^7 y_i$	x_i^9	$x_i^8 y_i$	x_i^{10}	$x_i^9 y_i$
1	2	3	4	5	6	7	8	9	10	11	12	13	14	15	16	17	18	19	20
1	10 - 11,99	-	-	1	-	-	1	-	2	-3	-6	18	1	-3					
2	12	-	-	1	-	4	-	1	1	7	-2	-14	28	3	-6				
3	14	-	-	1	-	1	9	2	2	16	-1	-16	16	15	-15				
4	16	-	-	2	1	4	4	2	2	-	15	0	0	0	-6	0			
5	18	-	-	3	2	4	1	-	1	11	1	11	11	-4	-4				
6	20	1	2	3	1	-	-	1	-	8	2	16	32	-15	-30				
7	22	-	-	-	-	-	-	-	-	0	3	0	0	0	0				
8	24 - 25,99	-	1	-	-	-	-	-	-	1	4	4	16	-3	-12				
9	n_i	1	6	8	9	13	12	7	4	60	-	-5	121	-9	-70				
10	x_i	-4	-3	-2	-1	0	1	2	3	-	x	x	x	x	x				
11	$n_i x_i$	-4	-18	-16	-9	0	12	14	12	9	x	x	x	x	x				
12	$n_i x_i^2$	16	54	32	9	0	12	28	36	167	x	x	x	x	x				

Obr. 61 Korelační tabulka pro materiál PN

	x_i	12,5	13	13,5	14	14,5	15	15,5	16	16,5	17	17,5	18	18,5	19	19,5	20	20,5	\bar{x}	s_x	n_i	$n_i x_i$	$n_i x_i^2$	
1	y_i	12,5	13	13,5	14	14,5	15	15,5	16	16,5	17	17,5	18	18,5	19	19,5	20	20,5	15,14,16	1,5	1	12,99	198	
2	y_i	3	4	5	6	7	8	9	10	11	12	13	14	15	16	17	18	19	20	21	22	23	24	25
3	y_i	-	-	-	-	-	-	-	-	-	-	-	-	-	-	-	-	-	0	-8	0	0	0	
4	y_i	-	-	-	-	-	-	-	-	-	-	-	-	-	-	-	-	-	2	-7	14	98	10	
5	y_i	-	-	-	-	-	-	-	-	-	-	-	-	-	-	-	-	-	2	-6	-12	72	11	
6	y_i	-	-	-	-	-	-	-	-	-	-	-	-	-	-	-	-	-	5	-5	-25	125	23	
7	y_i	-	-	-	-	-	-	-	-	-	-	-	-	-	-	-	-	-	3	-4	-12	48	48	
8	y_i	-	-	-	-	-	-	-	-	-	-	-	-	-	-	-	-	-	2	-3	-6	19	7	
9	y_i	-	-	-	-	-	-	-	-	-	-	-	-	-	-	-	-	-	5	-2	-10	20	10	
10	y_i	-	-	-	-	-	-	-	-	-	-	-	-	-	-	-	-	-	7	-1	-7	7	13	
11	y_i	-	-	-	-	-	-	-	-	-	-	-	-	-	-	-	-	-	6	0	0	-2	0	
12	y_i	-	-	-	-	-	-	-	-	-	-	-	-	-	-	-	-	-	3	1	8	8	-9	
13	y_i	-	-	-	-	-	-	-	-	-	-	-	-	-	-	-	-	-	6	2	12	24	-18	
14	y_i	-	-	-	-	-	-	-	-	-	-	-	-	-	-	-	-	-	3	4	12	48	-102	
15	y_i	-	-	-	-	-	-	-	-	-	-	-	-	-	-	-	-	-	2	5	10	50	-11	
16	y_i	-	-	-	-	-	-	-	-	-	-	-	-	-	-	-	-	-	1	6	6	36	-30	
17	y_i	-	-	-	-	-	-	-	-	-	-	-	-	-	-	-	-	-	0	7	0	0	0	
18	y_i	0	2	1	7	6	5	2	5	4	6	3	4	5	5	4	0	1	60	-1	8	8	64	
19	y_i	-8	-7	-6	-5	-4	-3	-2	-1	0	1	2	3	4	5	6	7	8	-	x	x	x	x	
20	y_i	0	-14	-6	-35	-24	-15	-4	-5	0	6	6	12	20	25	24	0	8	-2	x	x	x	x	
21	y_i	0	98	36	175	96	45	8	5	0	6	12	36	80	125	144	0	64	930	x	x	x	x	

Obr. 62 Korelační tabulka pro materiál MYP

vynášena do středů příslušných intervalů a řetnost je znázorněna velikostí kruhu. Současně jsou vynešeny v grafech i regresní přímky.



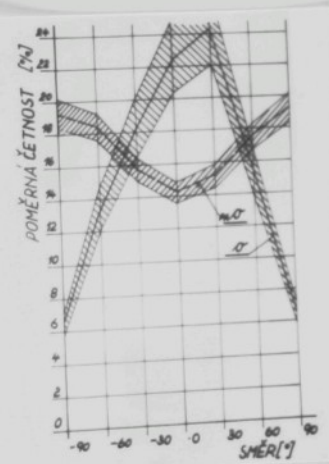
Obr. 63A, 63B : Zjednodušené znázornění vztahu mezi poměrným počtem průsečíků a orientací
 A = materiál PN
 B = " MYP

Z výsledků je patrno, že v obou případech existuje závislost srovnávaných hodnot, kterou pro materiál PN možno charakterizovat jako "velmi mfrnou" a pro materiál MYP jako "těsnou".

Lze se domnívat, že příčina značné rozdílnosti obou koeficientů korelace tkví v tom, že vlákna v pavučině mykacího stroje (MYP) jsou více napřímené, takže se méně uplatňuje rušivý vliv několikerého přetnutí vlákna týmž paprskem. Ověření této domněnky nebylo však provedeno.

Koefficient korelace u měření materiálu PN ukazuje, že by grafické srovnání výsledků bylo jen formální. Rovněž i orientace, která byla provedena v každém z deseti vzájemně srovnávaných souborů, nedovoluje zvětšit přesnost výsledků netolér, aby bylo možno vyvozovat další závěry o vzájemné závislosti.

U materiálu MYP, který má příznivější koefficient korelace, kde bylo v každé sérii provedeno 100 měření, je možno provést bližší srovnání. Výsledky jsou zakresleny v obr. 64, kde je vyznačena i příslušná chyba měření.

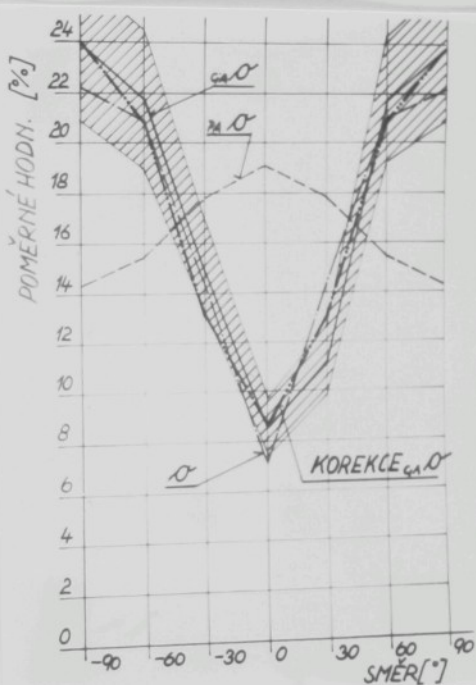


Obr. 64. Orientace a poměrný počet průsečíků pro materiál MYP

Z názoru je patrné, že klesající hodnoty β , odpovídají vrůstajícím hodnotám ρ_A a mimo oblast 0 až 30° rostoucí hodnoty β odpovídají klesajícím hodnotám ρ_A .
Hodnoty nesouhlasu nejsou známé. Vysvětlení může být v rámci velikosti chyby měření.

V následující tabulce (na straně 193) je proveden výpočet orientace a poměrného počtu průsečíků pro materiál MYR. Jako vstupních hodnot je použito výsledků předchozích měření materiálu MP.

Vypočtené hodnoty orientace (α'), poměrného počtu průsečíků ($\frac{p}{p_0} \alpha'$) a poměrné hmotnosti třásně ($G\alpha'$) jsou uvedeny v následujícím obrázku.



Obr. 65 Orientace, poměrný počet průsečíků a poměrná hmotnost třásně pro materiál MYR

Z předchozího grafu je patrno, že srovnávané hodnoty se vzájemně liší. Pro malý počet měření nemohla být pro vyšetření vzájemného vztahu zjištěných veličin použito kleračního počtu. Souvislost hodnot je však patrná

- maxima ρ a $_{GA}\rho$ souhlasí s minimem $_{PA}\rho$ a naopak,
- differenčia susedních, v grafu vynášených, hodnot $_{GA}\rho$ mají - stejná znaménka s příslušnými differencemi ρ ,
- opačná znaménka s differencemi $_{PA}\rho$.

Při zkříženém vrstvení téže pavučiny, která má vůči svému hlavnímu směru asymetrickou orientaci vláken, dostáváme symetrickou orientaci vláken v rouně tehdy, jestliže

- vrstvy jsou kladený střídavě způsobem 1 a 2
- vzájemná poloha (os) přiváděcího a odváděcího zářízení je 90° ,
- navratvené rouno obsahuje sudý počet pavučin.

Toto konstatování vyplývá jak z dříve uváděné teorie, tak i z praktického ověření na modelovém příkladě.

Navratvené rouno (MYP), které v tomto případě odpovídá všem uvedeným podmínkám, musí tedy vykazovat orientaci souměrnou dle hlavního směru. Rozložení poměrných hmotností třásni je však asymetrické vůči hlavnímu směru rouna. Jestliže přisuzujeme všem měřením poměrné hmotnosti třásni stejnou váhu, pak pro srovnání lze provést zprůměrování hodnot příslušejících směrům souměrně položeným dle hl. směru.

Graficky je to provedeno na předchozím obrázku, kde je současně vynešena i velikost chyby měření hodnot $_{GA}\rho$. Je patrné, že tato korekce je prakticky v mezích chyb.

5.24.3 Chyby naměřených hodnot

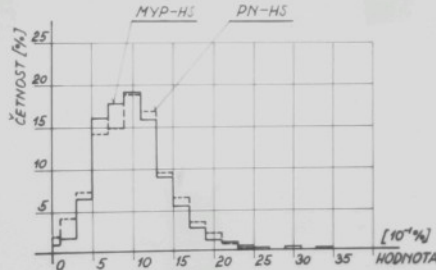
V předloženém textu byly vyhodnoceny chyby měření. Pro ucelení názoru je však nutno znát :

- charakteristiky souboru vyhodnocovaných prvků
- počet měření nutný k dosažení požadované přesnosti výsledku.

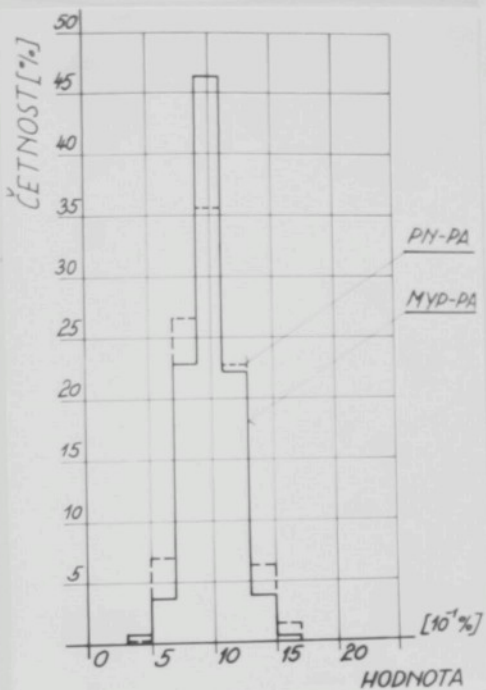
5.1.3.31 Charakteristiky souboru vyhodnocovaných prvků

Výsledky měření všech vyhodnocovaných prvků byly vyjádřeny v % příslušných střelních hodnot. Přiřazení četnosti výskytu k velikosti měřené hodnoty je provedeno v tabulce XXXI, kde je současně vyjádřeno i kolísání celkového počtu zatříděných prvků (tab. XXXI = sloupce 4, 6, 8, 10, 12).

Pro lepší názornost jsou hodnoty vyznačeny graficky (obr. 66, 67, 68).



Obr. 66 Četnost měření a velikosti naměřené hodnoty
= úseky vláken

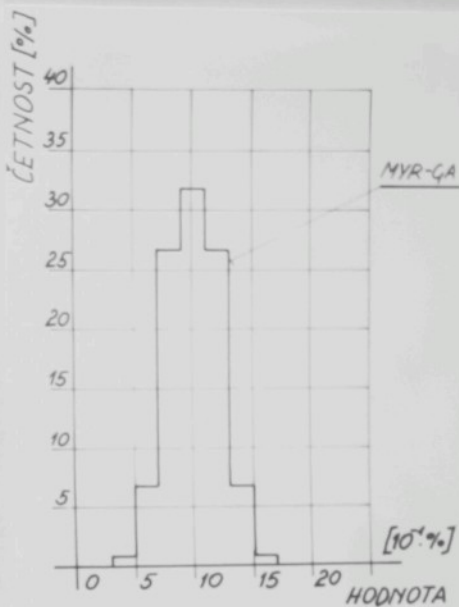


Obr. 67

Četnost měření a velikost naměřené hodnoty

obr. 67 průsečíky

obr. 68 hmotnost třásně



Obr. 68

K předchozímu statistickému vyhodnocení všech měření bylo voleno přesnější zařídění do intervalů o šíři 1 %, takže použití Sheppardovy korekce není nutné. Pro všechny posledně uváděné případy bylo provedeno srovnání s Laplace-Gaussovým rozložením. Bylo použito výpočetní metody a kontrolováno 8 hodnot daných násobky směrodatné odchylky. Jako ukazatel byl použit poměr

$$\frac{\text{četnost výběru} - \text{normální četnost}}{\text{směrodatná odchylka rozdílu}}$$

jehož absolutní hodnota je 2.

Tab. č. XXXII. Kontrola normálního rozložení

Poř.	Omezení kon-trolovací části Laplace-Gaussovy křivky	Absolutní hodnota ukazatele normálního rozložení				
		PN-HS	MYP-HS	PN-PA	MYP-PA	MYR-GA
1	2	3	4	5	6	7
1	$-\infty$ až -2 s	1,86	0,77	1,04	0,77	1,07
2	$-\infty$ až $-1,28$ s	0,27	2,04	0,27	1,25	0
3	$-\infty$ až -1 s	0,11	1,34	0,45	0,89	1,5
4	$-\infty$ až $-0,675$ s	1,13	0,47	0,57	0,19	0,42
5	$0,675$ s až ∞	1,23	2,64	0,66	0,19	0,42
6	1 s až ∞	0,34	1,01	0,79	0,34	0,35
7	$1,28$ s až ∞	0,14	1,09	1,36	0	0,30
8	2 s až ∞	1,42	1,96	0,60	1,68	0,47

Zkouška ukázala, že z rámce přípustné odchylky vybočují pouze 2 hodnoty souboru měření MYP-HS, t. j. Pearsonova vzdálost závažnosti odchylky zjištěně v okrajových oblastech Laplace-Gaussova rozložení, které jsou od symetrálny vzdáleny ± 2 s. Tyto oblasti však i pro rozložení souboru MYP-HS vyhovují, takže lze podmíněně považovat i toto rozložení za normální.

V následující tabulce XXXIII jsou pro přehled znova uvedeny statistické charakteristiky všech vyšetřovaných souborů.

Z tabulky je patrné, že směrodatné odchylky (a v tomto případě i variační koeficient) měření vyhodnocovacích prvků (pol. 5 - sloupce 3, 5, 7, 9, 11) jsou přibližně ve dvou úrovních ; modifikovaná Hearle-Stevensonova metoda vykazuje přibližně dvojnásobnou odchylku než zbývající metody.

Poněvadž kolisání summarizovaných hodnot (pol. 5 - sloupce

Tab. 8. XXXIII. Statistické charakteristiky vyšetřovaných souborů

Poř.	Text	Modifikovaná Hearleova Stevensonova metoda				Průsčková metoda				Gravimetrická metoda			
		n	≤ n	n	≥ n	n	≤ P	P	≥ P	n	≤ P	P	≥ P
1	2	3	4	5	6	7	8	9	10	11	12		
1	Calk. objem/čh prvků/4	3883	3883	5060	5060	8062	8062	14930	14930	(3,29 kg/m ³)			
2	Calk. objet merením/4	600	100	600	100	600	100	600	100	120	20		
3	Prům. počet jednoho měření	6,47	38,83	8,44	50,6	13,44	80,62	24,90	149,3	(0,1645 kg/m ³)			
4	Arit. průměr měř. v zadání vyjádřený v %	100	100	100	100	100	100	100	100	100	100		
5	Směrodatná odchylika (dle pol. 4)	44,0	17,1	45,9	15,3	21,6	17,5	17,6	14,3	21,7	17,2		
6	Chyba jednotlivého měření při jištění (dle pol. 4)	88	34,2	91,8	30,6	43,2	35,0	35,2	28,6	43,4	34,4		
7	Vyhodnocení využívaného jednorázového měřítka									PA/β		PA/β	GA/β
8	Výurčení (%)	96,5	94,4	96,5	55,6	45,4	55,4	45,4	34,4	34,4	34,4	34,4	55,4

4, 6, 8, 10, 12) je ve všech případech přibližně na stejnou úrovni, je i chyba jednoho měření (pol. 8 = sloupec $\frac{3}{4}, \frac{5}{6}$) prováděným modifikovanou Hearle-Stevensonovou metodou, přibližně dvojnásobná než u ostatních metod.

5.24.32 Počet měření nutný k dosažení požadované přesnosti

Závislost velikosti chyby ϑ aritmetického průměru na počtu měření n a chybě jednoho měření ϑ je dána známým vztahem

$$\vartheta = \frac{\vartheta}{\sqrt{n}}$$

Pro určení nutného počtu měření (n) potřebných k dosažení požadované přesnosti (ϑ) je předchozí vztah použitelný jen při vyšetřování téhož materiálu.

Částečného zobecnění lze dosáhnout, jestliže počtem měření je současně charakterizována i jejich závažnost.

Pro modifikovanou Hearle-Stevensonovou metodu je počet měření i jejich závažnost charakterizován počtem zatříděných úseků vláken. Pro jeden druh materiálu zřejmě platí

$$n = \frac{\sum \vartheta}{\sum \vartheta}$$

kde $\sum \vartheta$ je celkový počet průsečíků zatříděných při jednom měření a $\sum \vartheta$ je celkový počet průsečíků zatříděných při všech (opakovaných) měřeních.

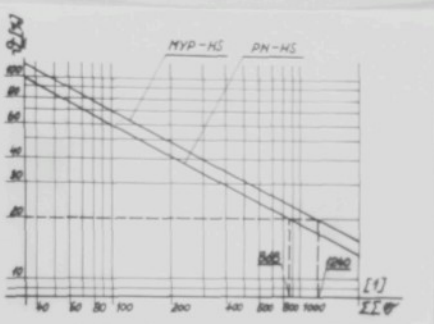
Při provedených měřeních byly průměrné hodnoty $\sum \vartheta$

= pro materiál PN	39
= MYP	51

Závislost

$$g = \frac{s}{\sqrt{\frac{\sum \theta^2}{n}}}$$

je vynešena na obr. 69.



Obr. 69 Závislost velikosti chyby orientace
na celkovém počtu zatříděných vláken

Různé materiály vykazují obecně různé statistické charakteristiky, takže nemohou být na základě tohoto úkazatele přímo srovnávány. Jejich příbuznost však dovoluje aspoň orientační srovnání použitelné pro předběžné stanovení hodnoty celkového součtu zatříděných úseků.

Při porovnávací průsečíkové metody se dojde k podobným závěrům.

Při 170 měřených materiálu PN bylo zatříděno celkem cca 8100 průsečíků a při zkouškách MYP 14 900 průsečíků. Počtu měření n tedy odpovídá

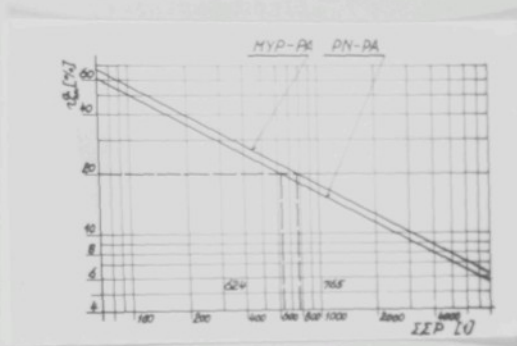
- pro materiál PN

$$\frac{\sum P}{81}$$

- pro MYP

$$\frac{\sum P}{149}$$

kde ΣP značí celkový součet zatříděných průsečíků při všech měřeních. Příslušné grafické zobrazení závislosti je na dalším obrázku.



Obr. 70 Závislost velikosti chyby poměrné četnosti průsečíků na celkovém počtu průsečíků

Gravimetrická metoda využívá k vyhodnocení orient. c. hmotnosti trásně. Je patrné, že pro týž materiál je c. lková hmotnost trásní $\approx G$ přímo úměrná počtu měření.

Pro srovnatelnost výsledků měření různých materiálů nelze však vzít hodnotu $\approx G$ za kriterium, protože úroveň pěstnosti měření je dána počtem jedinců, v našem případě vláken, která tvoří trásní. Lze tedy říci, že pro týž materiál je počet/uměrný celkovému počtu vláken ve všech trásních souborech. Pro různé materiály nutno opět předpokládat přibuznost statistických charakteristik a z toho vypořávající i přibližnou srovnatelnost výsledků.

Jestliže si pro daný případ zvolíme modelové rouno, charakterizované - plošnou hmotností ρ_{S0}

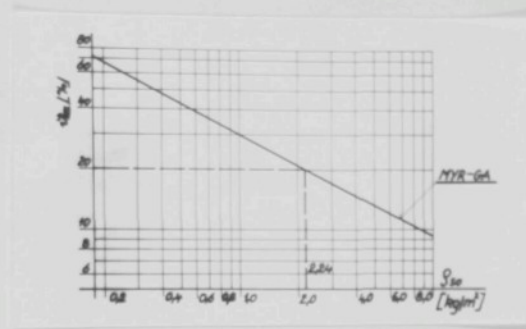
- jemností vláken (d_0)

- délkou vláken (l_{V0})

pak počet vláken N_0 případající na 1 m^2 rouna je

$$n = \frac{\sum g_{30} \cdot \text{Id} \cdot h_y}{100 \cdot 0,164}$$

Závislost velikosti chyby na \bar{g}_{30} a \bar{g}_{50} je znázorněna na následujícím obrázku.



Obr. 71 Závislost velikosti chyby poměrné hmotnosti třásně na plošné hmotnosti modelového a měřeného rovna

5.25 Kritika

Všechny zde uváděné metody určují ukazatele orientace, které jsou vztahovány k určovací rovině vlákenného útvaru. Jako srovnávací metoda je používána dříve popsaná Hearle-Stevensonova metoda přesto, že jsou známy její závady. Důvody pro tuto volbu byly uvedeny již v odstavci 5.12.

5.25.1 Modifikovaná Hearle-Stevensonova metoda

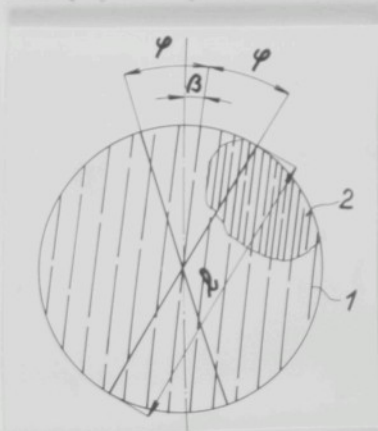
Z dřívějšího popisu je patrná pracnost této metody. Tuto pracnost zvyšuje ještě poměrně velká chyba příslušející

použitou (modifikovanou) Hearle-Stevensonovou metodou.

Mimo již dříve uváděný nesoulad výsledků teoretických závěrů pro soustavu vlák. sítí a praktických měření skutečných pavučin vznikají i nepřesnosti proto, že

- = vlákna tvoří skrumáže a jejich průsečíky splývají,
- = vyššíčovaný materiál vykazuje lokální nerovnoměrnost plošné hmotnosti.

Schematický příklad, jak tato lokální nerovnoměrnost plošné hmotnosti může ovlivnit výsledek, je patrný z obr. 72. Pavučina, tvořená jednosměrně orientovanými vlákny 1, vykazuje v místě 2 lokální zvýšení plošné hmotnosti. Ponevadž se jedná o jednosměrně orientovaný vláknitý útvar, při dostatečně velké délce úsečky ℓ by měl být stejný počet průsečíků pro směry $\beta \pm \Psi$. Vlivem zmíněné lokální nerovnoměrnosti plošné hmotnosti jsou však počty průsečíků pro tyto směry různé, a tím se různí i další výpočetní hodnota – poměrný počet průsečíků.

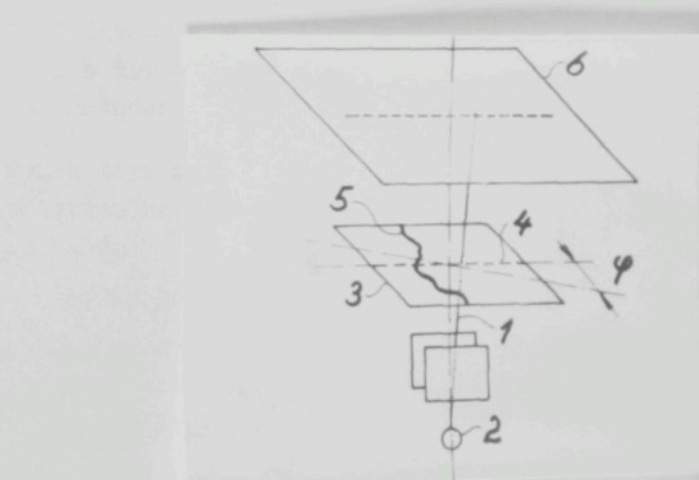


Obr. 72 Ovlivnění počtu průsečíků lokální nerovnoměrnosti plošné hmotnosti

Částečně lze tento nepříznivý vliv vyloučit tím, že se pro pozorování vybere místo s rovnoměrnou plošnou hmotností vyšetřovaného útvaru.

Metoda může být zjednodušena a jsou reálné předpoklady i pro její automatizaci.

- Zjednodušení možno dosáhnout tím, že se použije mikroskopu s nastavitelným stolem a počet průsečíků se provádí přímým pozorováním (bez pořizování mikrosnímků).
- Princip možné automatizace spočívá v tom, že paprsek 1 vysílaný zdrojem 2 postupně prosvětuje všechna místa preparátu 3 podél úsečky 4. Při zacítění paprsku vlákno 5 nastane přerušení ozáření stínítka 6, které může být zaznamenáno nekresleným počítačem impulsů. Po proběhnutí celé dráhy dané úsečkou 4 se pootočí preparátem o úhlový interval δ a cyklus se opakuje. Počet impulsů v jednotlivých cyklech lze vyhodnocovat automaticky.



Obr. 73 Princip automatizace průsečíkové metody

aktivní hrany kleštiny $\beta \pm 90^\circ$.

Ukazatelé, charakterizující hmotnost třásně připadající na jednotkovou poměrnu četnost průsečíků

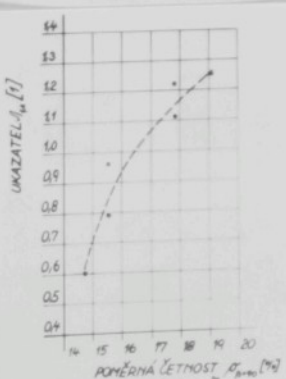
$$\lambda_{GA} = \frac{GA \rho_B}{PA \rho_B}$$

Tab. č. XXXIV.

Ukazatel λ_{GA}

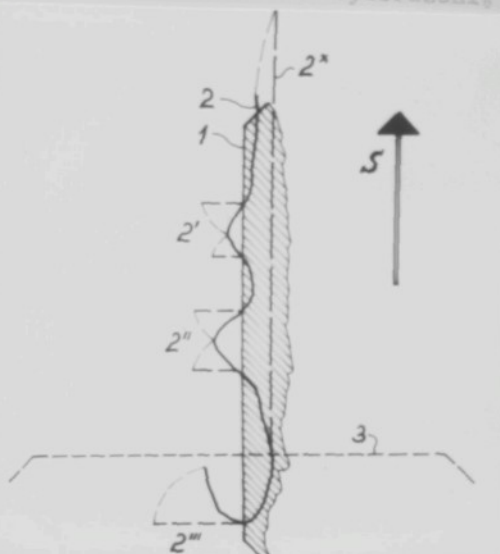
Pol.	Směr v soustavě rouna	Poměrný počet průsečíků		Ukazatel λ_{GA} pro měřené hodnoty
		stupen	%	
1	2	3	4	
1	-80	17,8	1,32	
2	-30	15,5	0,96	
3	0	14,7	0,6	
4	30	15,6	0,79	
5	60	17,9	1,11	
6	90	19,1	1,25	

Grafické znázornění je provedeno na následujícím obrázku.



Obr. 74 Závislost ukazatele λ_{GA} na poměrném počtu průsečíků

Z výhodnocení vyplývá, že ukazatel A_{GA} je závislý na poměrném počtu průsečíků tak, že s klesajícím počtem průsečíků klesá i velikost tohoto ukazatele. Vysvětlení tohoto jevu je patrné z následujícího vyobrazení.



Obr. 75 Zachycení vlákna kleštinou

Jestliže vykazuje rovnou převážně jednosměrnou orientaci vláken danou směrem S , pak je velká pravděpodobnost, že kleština 1, přibližně rovnoběžná se směrem S , sevře vlákno 2 tak, že obrys aktivní hrany kleštiny protíná vlákno ve více bodech. Při vyčesání třásně je velká pravděpodobnost, že se části vlákna 2'', 2''', 2''' přetrhnou. Jednomu průsečíku přísluší poměrně malá délka vlákna a tedy i malý podíl jeho hmotnosti.

V opačném případě, když směr aktivní hrany kleštiny 3 je přibližně kolový ke směru S , klesá pravděpodobnost více-násobného svřetu vlákna kleštinou, takže na jedno místo

